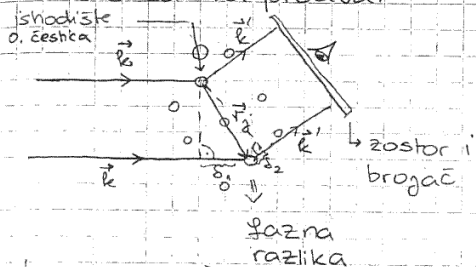


IV Raspršenje zračenja na kristalima

Uzimamo skup (sustav) čestica velike mase na koji i puštamo neko zračenje koje se na tom sustavu čestica raspršava.



PP raspršenje je elastično u smislu da se energija čestica koje se raspršuju sačuva:

$$|\vec{k}| = |\vec{k}'|$$

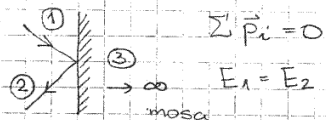
↳ masa čestica na kojim se raspršuje zračenje je velika

$$\vec{k}' - \vec{k} = \vec{q} \quad \text{prijenos impulsa}$$

↳ ishodište uzimamo u jednoj od tih čestica

Kad je masa čestica na kojim se raspršuje zračenje jako velika (\gg od mase čestica koje se raspršuju) \Rightarrow prijenos energije je mali, a prijenos valnog vektora je velik.

"Elastično" raspršenje (! ne poistovjetiti s makroskopskim elastičnim sudarom!)



$$\sum \vec{p}_i = 0$$

$$E_1 = E_2$$

↳ ovdje čestica ne predaje energiju nego samo impuls

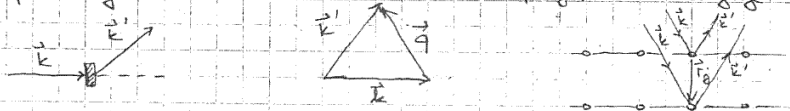
↳ kao kod kuglica naletit na zid i elastično se odbije.

$\sim \frac{1}{M} \rightarrow$ za veliku masu iona $\Rightarrow \hbar \omega \ll E_{\text{fotona}}$

Elastično raspršenje: $|\vec{k}| = |\vec{k}'|, \vec{k}' = \vec{k} + \vec{q}, \omega = \omega'$

\vec{r} - položaj zastora

↳ prijenos impulsa $\neq 0$
prijenos energije $= 0$

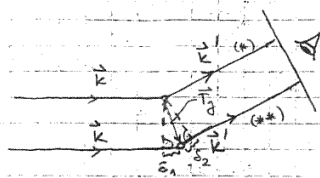


Zanima nas interferencija t. relativna faza 2 vala (raspršena)

Dalje PP da se zračenje raspršuje na svakom čvornu posebno. Svako čvorište ima udarni presjek $a(\vec{q})$

koji ovisi o $\vec{q} = \vec{k}' - \vec{k}$. Ulazne čestice su ekvivalentne.

Dakle: $a(\vec{q})$ - amplituda za raspršenje zračenja na jednom atomu (čvornu) za smjer \vec{q} .



∃ razlika u fazi između (*) i (**) jer jedna zraka treba preći veći optički put.

$$S_1 = \frac{\vec{k} \cdot \vec{r}_j}{k} \quad |\vec{k}| = |\vec{k}'| = k$$

$$S_2 = -\frac{\vec{k}' \cdot \vec{r}_j}{k} \quad S_1 + S_2 = \frac{(\vec{k} - \vec{k}') \cdot \vec{r}_j}{k}$$

raspršeni val

$$s \text{ 1. atoma: } a(\vec{q}) e^{i\vec{k}' \cdot \vec{r}}$$

$$s \text{ 2. atoma: } a(\vec{q}) e^{i(\vec{k}' \cdot \vec{r} + \varphi)}$$

$$k \cdot (S_1 + S_2) = (\vec{k} - \vec{k}') \cdot \vec{r}_j$$

$$= -\vec{q} \cdot \vec{r}_j = \varphi \text{ zadržetak u fazi za česticu } j$$

↳ razlika u fazi $(-\vec{q} \cdot \vec{r}_j)$

Amplituda raspršenog vala detektirana na zastori: (Ukupna amplituda raspršenja)

$$A(\vec{q}) = a(\vec{q}) \sum_j e^{-i\vec{q} \cdot \vec{r}_j} \quad (\text{suma po svim česticama})$$

atomskog porijekla Kristalnog porijekla (svojstvo slobodnog sustava - sustava bez zračenja)

ovisi o izboru koordinatnog ishodišta

(pretpostavili smo da je ista za sve atome) \rightarrow znamo $a(\vec{q})$ iz atomske fizike

- glavni problem je provesti gornju sumaciju

Mi ćemo promatrati intenzitet. Ukupni intenzitet:

$$|A|^2 = a^2(\vec{q}) \sum_j e^{-i\vec{q} \cdot (\vec{r}_j - \vec{r}_k)}$$

rel. koordinata pa se ne moramo brinuti o mjestu ishodišta

(gledamo)
Napomena: Intenzitet mjerimo dovoljno dugo obzirom na karakteristična vremena sustava. \Rightarrow prethodno treba usrednjiti preko vremena ekspozicije! (dulja od karakterističnih vremena u našem sustavu; npr. fononske frekvencije su $\sim 10^{13}$ Hz \Rightarrow kar. vr. $\sim 10^{-13}$ s \rightarrow lako postići vremena duža od toga)

Dakle, ono što mjerimo je intenzitet usrednjen preko perioda (slikamo oparatom ili se služimo brojačem).

!Važno: Vremenska usrednjenja (preko intervala u kojem vršimo mjerenje) zamenjuju se termodinamičkim (uode na)

usrednjenjem po ansamblu (mikrokanonski, kanonski, velekanonski; kako nam odgovara sistem).

ergodska hipoteza

Termodinamičko usrednjenje

$$\overline{|A|^2} = \overline{a^2(\vec{q}) \sum_i e^{-i\vec{q}(\vec{r}_i - \vec{r}_0)}} \quad \left. \vphantom{\overline{|A|^2}} \right\} \text{vrlo snažna formula}$$

informacija o zračenju

samo karakteristika sustava, nema inf. o zračenju

opisuje odgovor na zračenje kao nešto što je proporcionalno (opisano) termodinamičkom svojstvu u odsustvu zračenja! (to je tipična situacija)

↳ korelacija unutar sistema

Hijereti raspršenje dobivamo informaciju o termodinamičkim korelacijama u gibanju čestica.

Odgovor sistema na vanjsko polje dano je fluktuacijama u odsustvu polja.

Ovo je specijalan slučaj fluktuaciono-disipacionog teorema (fluktuacije karakteriziraju sistem u odsustvu polja, a disipacije karakteriziraju sistem u prisustvu polja).

$$\langle \dots \rangle \equiv \sum_i p_i \langle i | \dots | i \rangle$$

→ statistički prosjek u termički ravnotežnom stanju → usrednjenje po svim međustanjima;

p_i je vjerojatnost nalaza u i -tom stanju.

STATISTIČKA:

Nasumični model oponaša jedan realni sistem u termodinamičkoj ravnoteži, ako pretpostavimo da je termalizacijsko vrijeme τ toliko, da raspodjela čestica u danom trenutku nije nikako korelirana sa raspodjelom u trenutima, koji su od njega udaljeni za više od τ .

Termalizacijska skala - vrijeme nakon kojega možemo smatrati da su položaji i brzine čestica statistički nezavisni ili nekorelirani u odnosu na one, u trenutku početka opažanja.

To znači, ako mjerimo neku fizikalnu veličinu $f(t)$ tokom vremena značajno dužeg od τ , onda se izmjerena prosječna vrijednost te veličine

$$\bar{f} = \lim_{\Delta T \gg \tau} \frac{1}{\Delta T} \int_{\Delta T} f(t) dt$$

oponaša kao da je dobivena usrednjavanjem preko nasumično odabranih položaja i brzina.

Jedna određena realizacija položaja i brzina zove se konfiguracija sistema. Svaka se određena konfiguracija pojavljuje tačno jedanput, tako da je ukupan broj sistema, između kojih biramo jedan uzorak jednak ukupnom broju različitih konfiguracija danog sistema.

Kada nadamo općeniti opis konfiguracije, te svim konfiguracijama pridijelimo jednaku vjerojatnost, imat ćemo Gibbsov univerzalni nasumični model koji se zove ansambl... Poredine konfiguracije, tj. zamisljeni sistemi među kojima uzimamo nasumični uzorak, zovu se članovi ansambla.

Svaki član ansambla odgovara jednoj točki u faznom ili konfiguracionom prostoru.

Broj članova ansambla u elementu volumena faznog prostora

$$d\Gamma = d\vec{p} d\vec{q} \equiv d^3 p_1 \dots d^3 q_n$$

je dan sa

$$P(\vec{p}, \vec{q}) d\Gamma$$

gdje se pojavljuje funkcija raspodjele članova ansambla. Vjerojatnost da će nasumce odabrani sistem imati konfiguraciju (\vec{p}, \vec{q}) je:

$$S(\vec{p}, \vec{q}) d\Gamma = \frac{P(\vec{p}, \vec{q}) d\Gamma}{\int_{\Gamma} P(\vec{p}, \vec{q}) d\Gamma}$$

↳ po cijelom volumenu f. p. koji je dostupan našem sistemu.

Ponovimo, da se članovima ansambla pridjeljuje a priori jednaka vjerojatnost da budu opaženi. Ova pp je razuman odraz našeg neznanja o sistemu. (i u vodi se nakon što smo uključili svoj svoj znanje o sistemu)

6.3. 2002.

elastično raspršenje: laka čestica - teška meta

$$I(\vec{q}) = a^2(\vec{q}) \sum_{ij} \langle e^{i\vec{q} \cdot (\vec{r}_i(t) - \vec{r}_j(0))} \rangle$$

udarni presjek za raspršenje na donom atomu

↳ energija sačuvana; pozicije čestica u istom vremenskom trenutku (→ tu ulazi elastičnost raspršenja) → čestice su teške, nemaju se vremena gibati dok putuje ulazna čestica → nema informacije (direktno) o vremenskoj evoluciji sistema (nego samo posredno preko prostornih korelacija)

↳ usrednjenje po vremenu t koje je dugo spram karakterističnih vremena zamjenjuje mo usrednjenjem preko statističkog ansambla

$$I(\vec{q}) = a^2(\vec{q}) \sum_{ij} \langle e^{i\vec{q} \cdot \vec{r}_i} e^{-i\vec{q} \cdot \vec{r}_j} \rangle$$

mjerimo

⇒ dobivamo korelacijsku funkciju

Korelacijsku funkciju gledamo na dva načina:

1) $e^{-i\vec{q} \cdot \vec{r}_j} = \int \delta(\vec{r} - \vec{r}_j) e^{-i\vec{q} \cdot \vec{r}} d\vec{r}$

ovaj \vec{r} nije položaj čestice

$$I(\vec{q}) = a^2(\vec{q}) \int d\vec{r} d\vec{r}' e^{i\vec{q} \cdot (\vec{r} - \vec{r}')} \sum_{ij} \langle \delta(\vec{r} - \vec{r}_i) \delta(\vec{r}' - \vec{r}_j) \rangle$$

$$n(\vec{r}) = \sum_i \delta(\vec{r} - \vec{r}_i)$$

(oko točke \vec{r})

tvrđimo da je ova funkcija **gustoća čestica** (pobrojavamo čestice u danom volumenu preko kojeg smo integrirali)

↳ i dalje podrazumjevamo usrednjenje (ispustimo oznaku t)

$$|A|^2 = I(\vec{q}) \quad I(\vec{q}) \Rightarrow I(\vec{q})$$

$\int n(\vec{r}) d^3r$ je broj čestica u d^3r volumenu; ⇒ to je stvarno gustoća

$$I(\vec{q}) = a^2 \int d\vec{r} d\vec{r}' e^{i\vec{q} \cdot (\vec{r} - \vec{r}')} \langle n(\vec{r}) n(\vec{r}') \rangle$$

↳ dvostruki Fourierov transformat ali za isti \vec{q} od korelacijske funkcije gustoća-gustoća (korelacione)

(Vremensko usrednjenje možemo zamijeniti termodinamičkim ako je određena termodinamička korelacijska funkcija)

→ npr. plin, tekućina.

Specijalno: pp sistem homogen (sve točke ekvivalentne) (što nije dobro za kristal, dobro za plin, tekućinu)

$$\langle n(\vec{r}) n(\vec{r}') \rangle = \langle n(\vec{r} - \vec{r}') n(0) \rangle$$

↑ bilo koja točka u sistemu

$I(\vec{q})$ ovisi samo o relativnim pomacima (jer su sve točke ekvivalentne) ⇒ jedan integral izbacujemo (tj. uzeli smo ishodište u $\vec{r}' = 0$; ishodište može biti u bilo kojoj točki)

mjerimo

$$I(\vec{q}) = a^2 v \int d\vec{r} e^{i\vec{q} \cdot \vec{r}} \langle n(\vec{r}) n(0) \rangle$$

korelacijska funkcija gustoća-gustoća

↳ obrnutom Fourierovom transformacijom dobivamo

$$\langle n(\vec{r}) n(0) \rangle \propto \hat{I}$$

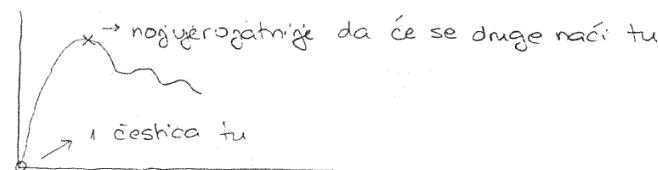
⇒ daje potpunu informaciju (ogromna informacija)

↳ Fourierov transformat korelacione funkcije gustoća-gustoća (Takva je SUSCEPTIBILNOST ⇒ mjeri odziv sistema na vanjsku smetnju)

- mjerenjem intenziteta dobivamo korel. fiju gustoća-gustoća

- fluktuacije oko prosječne vrijednosti su korelirane

- korelaciona funkcija u sebi sadrži informaciju o vjerojatnosti → vjerojatnost da je gustoća u 0 je $n(0)$ uz ujetnu vjerojatnost da je vjerojatnost u \vec{r} je $n(\vec{r})$ (ovisi o vjerojatnosti da čestica iz $\vec{r}'(0)$ pređe u \vec{r})



→ Gustoća se računa u odsustvu smetnje!

VAŽNO: uz pp linearnog odziva vrijedi [Bornova aprox. → čestica se samo jednom rasprši]:

$$\frac{d^2\sigma}{d\Omega dE} = C \cdot I(\vec{q}, \omega)$$

Van Hoveova formula za dif. udarni presjek

$$C = \frac{k'}{k} \left(\frac{H}{2\pi}\right)^2 |V_q|^2 \rightarrow \text{za neelastično raspršenje}$$

Povezuje dif. udarni presjek (mjeren u mekom pokusu) s korelacionom funkcijom koja opisuje dinamičku strukturu sustava.

Formula je potpuno općenita (vrijedi za bilo koje raspršenje na višestručnom sustavu)

U slučaju kod imamo posla sa kristalom (izvod $I(\vec{q})$ za kristal):

$$\vec{r}_j = \vec{R}_j + \vec{u}_j \rightarrow \text{pp.} \ll (\text{pomaci mali spram spram udaljenosti izmedu dva atoma tj. spram ekvilibrijskih pozicija})$$

$$i = j + \delta \quad \sum_i \varphi(i) = \sum_j \varphi(j + \delta)$$

$$I(\vec{q}) = a^2(\vec{q}) \sum_j \langle e^{i\vec{q}(\vec{r}_i - \vec{r}_j)} \rangle$$

$$I(\vec{q}) = a^2 \sum_{j, \delta} e^{i\vec{q}(\vec{R}_{j+\delta} - \vec{R}_j)} \langle [1 + e^{i\vec{q}(\vec{u}_{j+\delta} - \vec{u}_j)} - \frac{1}{2}(\vec{q}(\vec{u}_{j+\delta} - \vec{u}_j))^2 + \dots] \rangle$$

$\vec{R}_j + \vec{R}_\delta - \vec{R}_j = \vec{R}_\delta$

\downarrow sumacija po j i susjedima ($\delta=1 \Rightarrow 1$ susjed, $\delta=2$ drugi itd.)
 \downarrow termalno usrednjenje
 \downarrow mali razvojamo (slično harm. aprox.)
 \downarrow exp [i q (u_{j+s} - u_j)]

$\vec{R}_i - \vec{R}_j =$ relativna udaljenost čvorova
 $\vec{u}_i - \vec{u}_j =$ relativni pomak čestice

- pojavit će se pomak-pomak korelacijske funkcije

⊕ prvi član

$$\sum_{\delta} \sum_j e^{i\vec{q} \cdot \vec{R}_\delta} = \sum_{\delta} e^{i\vec{q} \cdot \vec{R}_\delta} \cdot \sum_j 1 = N^2 \delta_{\vec{q}, \vec{0}}$$

$N \delta_{\vec{q}, \vec{0}}$ $\vec{G} \cdot \vec{R}_\delta = 2\pi n$ \vec{G} vektor recipročne rešetke

$\vec{q} = \vec{0} \Rightarrow$ suma jedinica $\rightarrow N$
 $\vec{q} \neq \vec{0} \Rightarrow \vec{q} \neq \vec{G}$ (nije jedan od vektora \vec{G}) $\Rightarrow \rightarrow 0$
 $\vec{q} = \vec{G} \Rightarrow \vec{G} \cdot \vec{R}_\delta = 0 \rightarrow N$

\rightarrow Braggov zakon (imamo maksimume samo u smjerovima recipročne rešetke)

⊙ drugi član

$$\sum_{j, \delta} e^{i\vec{q}(\vec{R}_i - \vec{R}_j)} (\vec{u}_i - \vec{u}_j) = \sum_j e^{-i\vec{q} \cdot \vec{R}_j} \vec{u}_q - \sum_j e^{i\vec{q} \cdot \vec{R}_j} \vec{u}_{-q}$$

$$\vec{u}_q = \sum_l \vec{u}_l e^{i\vec{q} \cdot \vec{R}_l} = \frac{\delta_{\vec{q}, \vec{0}}}{N} (\vec{u}_q - \vec{u}_{-q}) = 0$$

\rightarrow Nakon Fourierovog transformata linearni član otpada (i prvi je usrednjenja)

⊙ Treći kvadratni član:

$$\sum_{\delta} e^{i\vec{q} \cdot \vec{R}_\delta} \left(-\frac{1}{2}\right) \sum_j \langle [\vec{q}(\vec{u}_{j+\delta} - \vec{u}_j)]^2 \rangle =$$

$$[\vec{q}(\vec{u}_i - \vec{u}_j)]^2 = \vec{q}(\vec{u}_i - \vec{u}_j) \vec{q}(\vec{u}_i - \vec{u}_j) = (\vec{q} \cdot \vec{u}_i - \vec{q} \cdot \vec{u}_j)(\vec{q} \cdot \vec{u}_i - \vec{q} \cdot \vec{u}_j)$$

$$= (\vec{q} \cdot \vec{u}_i)^2 + (\vec{q} \cdot \vec{u}_j)^2 - 2(\vec{q} \cdot \vec{u}_i)(\vec{q} \cdot \vec{u}_j)$$

daju isti doprinos kod se prosumira pa stavljamo da je to $2(\vec{q} \cdot \vec{u}_j)$

$$= 2(\vec{q} \cdot \vec{u}_j)^2 - 2(\vec{q} \cdot \vec{u}_{j+\delta})(\vec{q} \cdot \vec{u}_j)$$

$$\Rightarrow = \sum_{\delta} e^{i\vec{q} \cdot \vec{R}_\delta} \sum_j [\langle (\vec{q} \cdot \vec{u}_{j+\delta})(\vec{q} \cdot \vec{u}_j) \rangle - \langle (\vec{q} \cdot \vec{u}_j)^2 \rangle]$$

korelacijska funkcija pomak-pomak u istom čvoristu
 (korelacijska funkcija između dva čvorista pomaknuta za δ)

Dalje uvodimo Fourierov transformat od \vec{u}_j (gaš ga (jer je vektor) rastavimo po komponentama u smjeru vektora polarizacije (3D harmoničkog problema) \rightarrow to nam dijagonalizira sustav!

$$\vec{u}_j = \sum_{\lambda, p} \vec{e}_{\lambda p} u_{\lambda p} e^{i\vec{p} \cdot \vec{R}_j} \quad \vec{u}_{j+\delta} = \sum_{\lambda, p'} \vec{e}_{\lambda p'} u_{\lambda p'} e^{i\vec{p}' \cdot \vec{R}_{j+\delta}}$$

\downarrow polarizacija

Štada možemo provesti sumu po j :

$$(*) \sum_j e^{i(\vec{p} + \vec{p}') \cdot \vec{R}_j} = N \cdot \delta_{\vec{p} + \vec{p}', \vec{0}}$$

sve funkcije koje ovise o \vec{p}, \vec{p}' su periodične u \vec{G} .

(zatvorenost Four. komp.)

$$A): \langle \sum_j (\vec{q} \cdot \vec{u}_{j+\delta})(\vec{q} \cdot \vec{u}_j) \rangle = \langle \sum_{\substack{\vec{p}, \vec{p}' \\ \lambda, \lambda'}} (\vec{q} \cdot \vec{e}_{\lambda p})(\vec{q} \cdot \vec{e}_{\lambda' p'}) e^{i\vec{p} \cdot \vec{R}_j} e^{i\vec{p}' \cdot (\vec{R}_j + \vec{R}_\delta)} \rangle$$

$$= \langle \sum_{\substack{\vec{p}, \vec{p}' \\ \lambda, \lambda'}} (\vec{q} \cdot \vec{e}_{\lambda p})(\vec{q} \cdot \vec{e}_{\lambda' p'}) u_{\lambda p} u_{\lambda' p'} e^{i(\vec{p} + \vec{p}') \cdot \vec{R}_j} e^{i\vec{p}' \cdot \vec{R}_\delta} \rangle$$

$$= N \sum_{\substack{\vec{p}, \vec{p}' \\ \lambda, \lambda'}} \delta_{\vec{p} + \vec{p}', \vec{0}} (\vec{q} \cdot \vec{e}_{\lambda p})(\vec{q} \cdot \vec{e}_{\lambda' p'}) \cdot e^{i\vec{p}' \cdot \vec{R}_\delta} \langle u_{\lambda p} u_{\lambda' p'} \rangle$$

$$= N \sum_{\substack{\vec{p}, \vec{p}' \\ \lambda, \lambda'}} (\vec{q} \cdot \vec{e}_{\lambda p})(\vec{q} \cdot \vec{e}_{\lambda' \vec{G} - \vec{p}}) e^{i(\vec{G} - \vec{p}) \cdot \vec{R}_\delta} \langle u_{\lambda p} u_{\lambda' \vec{G} - \vec{p}} \rangle$$

$$e^{i\vec{G} \cdot \vec{R}_\delta} = 1$$

$\vec{G} \cdot \vec{R}_\delta = 2\pi n$

jedinstvenost F. razvoja $\Rightarrow \vec{e}_{\lambda' \vec{G} - \vec{p}} = \vec{e}_{\lambda' \vec{G} - \vec{p}}$ $u_{\lambda' \vec{G} - \vec{p}} = u_{\lambda' \vec{p}}$
 (periodičnost u rec. prostoru)

$$= N \sum_{\vec{p}, \vec{p}'} (\vec{q} \cdot \vec{e}_{\vec{p}}) (\vec{q} \cdot \vec{e}_{\vec{p}'}) e^{-i\vec{p} \cdot \vec{R}_0} \langle u_{\vec{p}} u_{\vec{p}'} \rangle$$

$$\textcircled{B} \langle \sum_{\vec{p}} (\vec{q} \cdot \vec{u}_{\vec{p}})^2 \rangle = \langle \sum_{\vec{p}, \vec{p}'} (\vec{q} \cdot \vec{e}_{\vec{p}}) (\vec{q} \cdot \vec{e}_{\vec{p}'}) u_{\vec{p}} u_{\vec{p}'} e^{i\vec{p} \cdot \vec{R}_0} e^{-i\vec{p}' \cdot \vec{R}_0} \rangle$$

lokalni član \rightarrow zbog periodičnosti $\vec{p}' = -\vec{p}$ nakon sumiranja

$$= N \sum_{\vec{p}} (\vec{q} \cdot \vec{e}_{\vec{p}}) (\vec{q} \cdot \vec{e}_{-\vec{p}}) \langle u_{\vec{p}} u_{-\vec{p}} \rangle$$

$$\sum_{\vec{p}} e^{i\vec{q} \cdot \vec{R}_0} (A-B) = N \sum_{\vec{p}, \vec{p}'} [(\vec{q} \cdot \vec{e}_{\vec{p}}) (\vec{q} \cdot \vec{e}_{\vec{p}'}) \langle u_{\vec{p}} u_{\vec{p}'} \rangle - (\vec{q} \cdot \vec{e}_{\vec{p}}) (\vec{q} \cdot \vec{e}_{-\vec{p}}) \langle u_{\vec{p}} u_{-\vec{p}} \rangle]$$

$N \delta_{\vec{q}-\vec{p}, 0}$ $N \delta_{\vec{q}\vec{e}}$

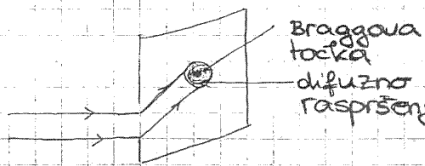
$$= N^2 \left[\sum_{\vec{p}, \vec{p}'} (\vec{q} \cdot \vec{e}_{\vec{p}}) (\vec{q} \cdot \vec{e}_{\vec{p}'}) \langle u_{\vec{p}} u_{\vec{p}'} \rangle - \delta_{\vec{q}\vec{e}} \sum_{\vec{p}} (\vec{q} \cdot \vec{e}_{\vec{p}}) (\vec{q} \cdot \vec{e}_{-\vec{p}}) \langle u_{\vec{p}} u_{-\vec{p}} \rangle \right]$$

\Rightarrow ukupni rezultat: $\equiv 2W$, Debye-Wallerov član

$$I(\vec{q}) = a^2 N^2 \left\{ \delta_{\vec{q}\vec{e}} \left[1 - \sum_{\vec{p}, \vec{p}'} (\vec{q} \cdot \vec{e}_{\vec{p}}) (\vec{q} \cdot \vec{e}_{\vec{p}'}) \langle u_{\vec{p}} u_{\vec{p}'} \rangle \right] + \sum_{\vec{p}, \vec{p}'} (\vec{q} \cdot \vec{e}_{\vec{p}}) (\vec{q} \cdot \vec{e}_{-\vec{p}'}) \langle u_{\vec{p}} u_{-\vec{p}'} \rangle \right\}$$

!!! važan izraz

- Prvi član (uz $\delta_{\vec{q}\vec{e}}$) postoji ($\neq 0$) samo u Braggovim točkama ($\vec{q} = \vec{G}$) $\Rightarrow 1 - \dots$
- postoji za svaki $\vec{q} \Rightarrow$ difuzno raspršenje



posljedica toga što smo dozveli nered u vibraciji rešetke (raspršivaci više nisu fiksni u Bragg točkama nego se pomiču)

Smanjenje intenziteta u Braggovim točkama posljedica je termičkog gibanja rešetke ($\equiv 2W$)
to smanjenje je opisano Debye-Wallerovim članom.

Intenzitet se seli u okolnu Braggovu točku ($\vec{q} \neq \vec{G}$), to je intenzitet izgubljen u Braggovoj točki \rightarrow raspršenje postaje **DIFUZNO** (posljedica termičkog gibanja oko ravnotežnog položaja).

• Analiza korelativnih funkcija:

U harmoničkoj aproksimaciji polarizacija $\vec{e}_{\vec{p}}$ dijagonalizira sustav \rightarrow nema međusobne veze fonona za različite (\vec{q}, λ) .

(baš tako smo izabrali polarizacije - to su bili normalni modovi - FONONI)

$$\langle u_{\vec{p}} u_{\vec{p}'} \rangle = \delta_{\vec{p}, \vec{p}'} \langle u_{\vec{p}} u_{\vec{p}} \rangle = u_{\vec{p}}^* u_{\vec{p}}$$

$$\vec{u}_{\vec{p}} = \sum_{\vec{q}} \vec{e}_{\vec{p}\vec{q}} u_{\vec{p}\vec{q}} e^{i\vec{q} \cdot \vec{R}_0}$$

$$\vec{u}_{\vec{p}}^* = \sum_{\vec{q}'} \vec{e}_{\vec{p}\vec{q}'} u_{\vec{p}\vec{q}'}^* e^{-i\vec{q}' \cdot \vec{R}_0} = \vec{u}_{\vec{p}} = \sum_{\vec{q}} \vec{e}_{\vec{p}\vec{q}} u_{\vec{p}\vec{q}} e^{i\vec{q} \cdot \vec{R}_0}$$

$$= \sum_{\vec{q}'} \vec{e}_{\vec{p}\vec{q}'} u_{\vec{p}\vec{q}'} e^{-i\vec{q}' \cdot \vec{R}_0}$$

$$\Rightarrow \vec{e}_{\vec{p}\vec{q}'} = \vec{e}_{\vec{p}\vec{q}}$$

$$u_{\vec{p}\vec{q}'}^* = u_{\vec{p}\vec{q}}$$

$$\langle |u_{\vec{p}\vec{q}}|^2 \rangle$$

$$\Rightarrow I(\vec{q}) = a^2 \left[N^2 \delta_{\vec{q}\vec{e}} - N^2 \delta_{\vec{q}\vec{e}} \sum_{\vec{p}, \vec{p}'} (\vec{e}_{\vec{p}\vec{p}} \cdot \vec{q})^2 \langle u_{\vec{p}} u_{\vec{p}'} \rangle + N^2 \sum_{\vec{q}} (\vec{e}_{\vec{p}\vec{q}} \cdot \vec{q})^2 \langle u_{\vec{p}\vec{q}} u_{\vec{p}\vec{q}} \rangle \right]$$

∃ korelacije između različitih grana u harmoničkoj aproksimaciji (uvodi nezavisne koordinate, nezavisne harmoničke oscilatore).

korelaciona funkcija Fourierovih komponenti u istoj grani

Dakle, uvedene su pretpostavke:

- pp raspršenje ide na svakom atomu posebno (a) \Rightarrow interferencija ide sa svakog atoma posebno (em. val kad pada na kristal veže se na dipol \rightarrow a opisuje vezanje zračenja na atom-dipol \rightarrow atomi \rightarrow to je česta situacija, ali se nekad zna dogoditi da je dipol kolektivan pa je prethodno generalno, ali ne sasvim generalno \rightarrow zračenje se veže na dipol ugle molekule pa priča me ide ovako)

2. pp raspršenje elastično

→ kako ukloniti tu pp: $\vec{q} = \vec{k} - \vec{k}'$
 $\omega = \omega' - \omega$
 → u elastičnoj aprox: $\omega = 0$
 $|\vec{k}| = |\vec{k}'|$

3 pp: Harmonički razvoj po malim pomacima
 (može smo uzimati i više članove, pa njih
 uračunati u harmoničku aproksimaciju → Gaussova
 teorija)

$$I(\vec{q}) = N^2 \delta_{\vec{q}\vec{G}} [1 + 2W + \dots] + N^2 \sum (\vec{e}_{\vec{n}\vec{q}} \cdot \vec{q})^2 \langle u_{\vec{n}\vec{q}} u_{\vec{n}-\vec{q}} \rangle +$$

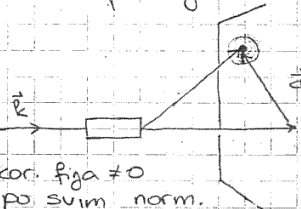
↳ od esencijalnog značenja ⇒ intenzitet "čiste"
 Braggove točke se smanjuje
 jer se zračenje pri raspršenju
 smetaju termalnim fononima

W - Debye-Wallerov faktor

(nema ga velikog smisla stavljati u eksponent jer
 su pomaci mali)

Prvi član E samo u Braggovoj točki ($\vec{q} = \vec{G}$)

Braggovo raspršenje (u Braggovim točkama)



→ ako je kor. fiza ≠ 0
 gibanje po svim norm.
 koord. (tj. termički fononi) smanjuju
 intenzitet Braggove točke (u sistemu se unosi
 nered)

Drugi član E izvan Braggove točke (jako u njenoj
 okolici, a inače svugdje) → difuzno raspršenje koje
 nema veze sa periodičkom strukturom kristala

↳ valni vektor je postao fiksiran (udarni presjek postaje
 selekivan po \vec{q}) jer nema sume po svim valnim
 vektorima - neloikalnost; ima ovisnost o \vec{q}
 - dvo intenziteta ide u okolinu Braggove točke

$2W \rightarrow$ nije selekivan po \vec{q} (jer se sumira po svim
 efektima lokaliziranosti valnim vektorima i
 ne ostaje \vec{q} ovisnost)
 (lokalizirani član)

Vidimo da se
 intenzitet Braggove
 točke (koja je
 posljedica reda u
 kristalu) smanjuje
 pojavom vibracija
 (tiranja rešetke tj.
 nereda)

Računamo korelaciju u harmoničkoj aproksimaciji:

2. izlaze iz E = ukupna E

$$M \omega_{\vec{q}}^2 \langle u_{\vec{n}\vec{q}} u_{\vec{n}-\vec{q}} \rangle = M \omega_{\vec{q}}^2 \langle |u_{\vec{n}\vec{q}}|^2 \rangle =$$

\vec{q} → valni
vektor
termičkog
fonona
P + G

Energija $E = \vec{E}_k + \vec{E}_p$
 (zokoni ekvip. en. + unipalni zakon)
 $E_k = E_p \Rightarrow \omega = \omega_0 \Rightarrow E = 2E_p$

$$= \hbar \omega_{\vec{q}} (\bar{n}_{\vec{q}} + \frac{1}{2})$$

jer su svi pomaci
 realni ($u_{\vec{q}}$ i $u_{-\vec{q}}$ nisu
 nezavisne koordinate jer
 su svi pomaci realni)

$$u_{\vec{q}}^* = \sum_{\vec{q}'} u_{\vec{q}'}^* e^{-i\vec{q}' \cdot \vec{r}_j} \quad u_{\vec{q}}^* = u_{-\vec{q}}$$

$$\bar{n}_{\vec{q}} = \frac{1}{e^{\frac{\hbar \omega_{\vec{q}}}{k_B T}} - 1}$$

Bose-Einsteinova (Planckova
 raspodjela za fonone resp.)

↳ broj fonona u oscilatoru \vec{n}, \vec{q} (broj pobudjenj
 oscilatora)
 ↳ time uvodimo i kvantnu mehaniku

⇒ Korelativna funkcija:

$$\langle u_{\vec{n}\vec{q}} u_{\vec{n}-\vec{q}} \rangle = \langle |u_{\vec{n}\vec{q}}|^2 \rangle = \frac{\hbar}{M \omega_{\vec{q}}} (\bar{n}_{\vec{q}} + \frac{1}{2})$$

$$(\Delta u)^2 = \langle |u|^2 \rangle - \langle u \rangle^2 = 0$$

prosječno odstupanje od
 ravnoteže je 0 jer ima
 jednoku yerogatnost + i -

$$= \langle |u|^2 \rangle$$

↳ relativna fluktuacija pomaka → direktno ovisi o
 energiji fonona
 → iz ovog se vidi da je difuzno raspršenje direktno
 određeno spektrom fonona (termičkih)
 (uzrokovano baš pomacima)

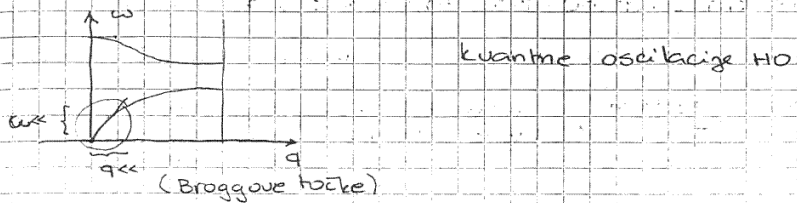
- tražimo područja energije gdje je korelaciona funkcija
 velika.

Imamo dvije granice:

① Kvantna granica ($k_B T \ll \hbar \omega$, $\bar{n} \ll \frac{1}{2}$; niske T)
 $\bar{n} \approx 0$

↳ jedine fluktuacije dolaze od nultog gibanja
 $\langle |u_{\vec{n}\vec{q}}|^2 \rangle = \frac{\hbar}{2M \omega_{\vec{q}}} \sim \frac{1}{\omega} \rightarrow \infty$ (veliko) $\Leftrightarrow q \ll \Rightarrow$
 (od $\frac{1}{2} \rightarrow$ član koji odgovara nultom gibanju 0)
 za $T \rightarrow 0 \rightarrow \bar{n} \rightarrow 0 \Rightarrow$ kvadrat amplitude 0. gibanja

\Rightarrow frekvencije su male \Rightarrow dominiraju akustički modovi (u difuziji raspršenog zračenja veliki su doprinosi fonona s malim frekvencijama)



② Klasična granica ($\hbar\omega \gg k_B T, \hbar \gg \frac{1}{2}$; visoke T; $\hbar \approx \frac{k_B T}{\omega}$)

$$\langle |U_{n\vec{q}}|^2 \rangle = \frac{k_B T}{\mu \omega_n^2} \sim \frac{1}{q^2} \rightarrow \infty \Leftrightarrow q \ll \Rightarrow \text{opet dominiraju akustički modovi!}$$

\Rightarrow vrijedi zakon ekvipartitije energije (klasične oscilacije HO)

Dakle:

$$\langle U_{n\vec{q}} U_{n-\vec{q}} \rangle = \begin{cases} \frac{k_B T}{M \omega_n^2(q)} & \bar{E}_n = k_B T \\ \frac{1}{2} \frac{\hbar}{m \omega_n(q)} & \bar{E}_n = \frac{1}{2} \hbar \omega_n \end{cases}$$

ekvip. en.

\rightarrow u obe granice srednja kv. amplituda je velika kad je ω mala \rightarrow akustični fononi

\rightarrow ekstremna klasična i ekstremna kvantna slika.

! Korelativna funkcija je velika kod je ω mali \Rightarrow akustički modovi dominiraju u difuznom raspršenju

U granici \vec{q} blizu Braggove točke ($\vec{q} = 0$) akustički modovi daju najveći (divergentni) doprinos difuznom raspršenju (\rightarrow pojavljivanje zosženjenja u okolici Braggovih točki zbog velikih doprinosa malih fr.)

Postoji i doprinos optičkih modova (koji raste s \vec{q}) jer imamo sumu po λ , ali on je zanemariv (za velike q su istog reda veličine akust. i optički)

Mjereći $I(\vec{q})$ u difuznom raspršenju dobivamo informaciju o fononskim frekvencijama (okušione...)

Komenzurabilno - nekomenzurabilni fazni prijelaz

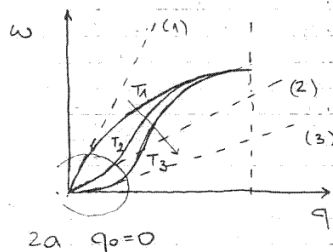
Važno: sistem razvija strukturnu nestabilnost s obzirom na povećanje temperature za konačni $q \neq 0$.

- u teoriji elastičnosti to su bili $C_{11} + 2C_{12} > 0, C_{11} - C_{12} > 0, C_{44} > 0$

Ovdje se javlja dodatni singularitet zbog toga što brzina zvuka v_s ($\omega = v_s |\vec{k}|$) ide u nulu s porastom temperature T; "soft mod"

- efekt se odvija samo u jednom dijelu spektra.

Fononski spektar i njegova ovisnost o q u akustičkom sektoru:



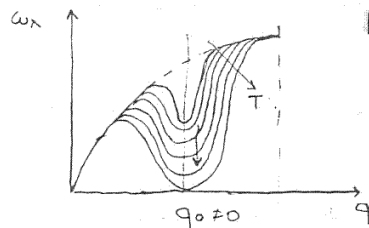
T raste \Rightarrow brzina zvuka pada

- dodatna nestabilnost uzrokuje veće zacrtnjenje jer je područje q za koje je ω malo (\Rightarrow korel. figa velika) veće



(kod bi se to odvijalo u cijelom spektru dobili bismo "gustu mrežu" širidog oko Braggove točke)

Ako nam se tokva deformacija disperzijske relacije dogodi za $q_0 \neq 0$:

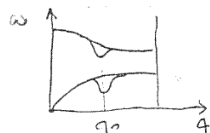


Kohnova anomalija

- spuštanjem temperature to evoluira prema dođe
- za toj q_0 dobit ćemo u raspršenju dodatno raspršenje



$\lambda_0 = \frac{2\pi}{q_0} \rightarrow$ valna duljina spontane deformacije



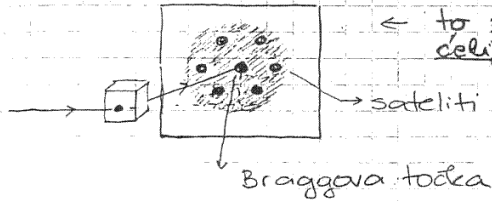
u optičkoj ili akustičkoj grani

- difuzno pojačanje postoji na Braggova točka \rightarrow superrešetka (pojavljuju se nove Braggove točke vezane za q_0 i njegove multiplete)

Pro $q_0 \neq 0$ $w \ll$ (zodnja krivulja $w(q_0) = 0$) \Rightarrow doprinos difuznom raspršenju.

U $w(q_0) = 0 \Rightarrow$ nova Braggova točka

- počinjemo razvijati po tom q_0
- tim razvojem dobivaju se "sateliti" \Rightarrow dodatni maksimumi, odnosno nove Braggove točke simetrično raspoređene oko "stare"
- (dubina anomalije ovisi o temperaturi, $T \rightarrow T_0 \Rightarrow w_{q_0} \rightarrow 0 \Rightarrow$ dif. raspršenje divergira za $T \rightarrow T_0$)



\leftarrow to znači da se jedinična ćelija umnožila (proširila)

sustav postaje neotporan na deformacije s valnim vektorom q_0
 $H w_{q_0}^2 |u_{q_0}|^2 \rightarrow 0$

Kontinuirani prelaz:

Za 1D: $q_0 = \frac{2\pi}{Na} \cdot m$ \leftarrow $|m| \leq \frac{N}{2}$ (BVC "rubni ujet")

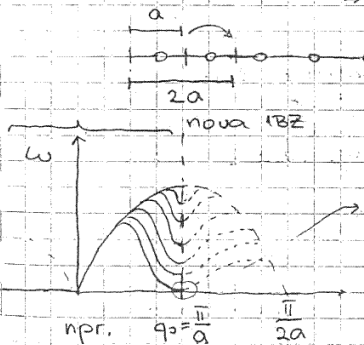
Opcenito: $q_0 = \frac{2\pi}{a} \cdot m$

Uzmimo npr. $q_0 = a$

\rightarrow to odgovara situaciji kod se proces događa

jedinična ćelija se umnožila (proširila) $a \rightarrow 2a$ i sada imamo dva atoma po ćeliji

$m = \frac{N}{2}$ jediničnih ćelija a svaka sadrži 2 atoma



derivacija $w(k)$ na rubu BZ je 0.

$$\lambda q = \frac{2\pi}{a} = \frac{Na}{m}$$

$\frac{Na}{a} = \frac{N}{m}$ općenito racionalan broj

$m Na = Na$ stopa kristalne rešetke

$[N > Na]$

Jedinična ćelija bila a , a sad je N , ukupni broj jediničnih ćelija nije više N nego m .



Opcenito to može biti velik, ali cijeli broj (1.) (tj. može nastati vrlo velika jedinična ćelija)

$\frac{Na}{m} =$ visok rac. broj

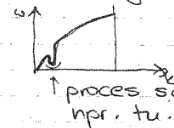
$$\frac{Na}{a} = \frac{N}{m}$$

\Rightarrow nesumjerljiva deformacija
 \rightarrow superrešetka (nesumjerljiva s originalnom rešetkom)

visoki racionalni broj; teško ga možemo razlikovati od iracionalnog broja. U specijalnim slučajevima imamo da je to mali racionalni broj npr.

$m = \frac{N}{2} \Rightarrow T_0 = 2a$ (nova jedinična ćelija sadrži dvije originalne ćelije)

Dakle superrešetke mogu obuhvatiti mnogo atoma (m mali broj \Rightarrow N velik)



Komenzurabilno - nekomenzurabilni prijelaz

\rightarrow nije potpuno točno ime (jer se nova ćelija multiplicira od stare)

nova stora $\in \mathbb{Q}$ ($a \in \mathbb{R}$)

\Rightarrow to je ipak komenzurabilno

($\frac{N}{m}$ može biti rac \Rightarrow nesumj. rešetke)

komenzurabilan prijelaz, ali visoka komenzurabilnost za fizičare je nekomenzurabilnost (to je racionalni broj ali s mnogo decimala)

$$w^2(q) = v^2 q^2$$

$q \rightarrow 0 \quad w \rightarrow 0$ akustički mod

$$v^2 \approx \frac{c}{\rho}$$

$c \rightarrow 0 \Rightarrow v \rightarrow 0$

neotpornost kristala na homogene def.

Sad smo u sumaciji dobili rezoluciju po valnom vektoru (to je razlučeni q za koji imamo raspršenje)

- tražimo rezoluciju i po frekvenciji \rightarrow neelastično raspršenje

u spec. toplini to je bila suma po sumi modovima

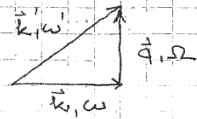
13.3.2002.

Neelashčno raspršenje

- dopuštamo prienos energije

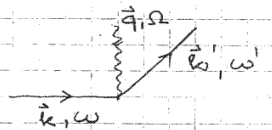
$\vec{k}_0 = \vec{k} + \vec{q}$ ZOI $|\vec{k}| \neq |\vec{k}'|$

$\omega = \omega + \Omega$ ZOE



ulazna en.

energija dobivena od kristala (čestica na kojim se raspršuje) (odnosno primljena ili emitirana energija)



emitira se ili apsorbira fonon

emisija

- računom dobijemo: $|\vec{k}'| = |\vec{k}| \left(1 - \frac{\Omega}{\omega}\right)$

↳ korekcija zbog transfera energije

$E^2 = \vec{p}^2 c^2 + m^2 c^4$

Pa šta to je za pred?

$p_1 = (E_1/c, \vec{p}_1)$

$p_1' = (E_1'/c, \vec{p}_1')$

$p^2 = m^2 c^2$

$p_{\text{fonon}} = (\hbar \Omega/c, \vec{q})$

$m \approx 0$ (masa čestice koja se raspršuje)

apsorpcija:

$p_1 + p_{\text{fonon}} = p_1'$

fonon bezmosen

$p_1^2 + p_{\text{fonon}}^2 + 2 p_1 p_{\text{fonon}} = p_1'^2 = 0$

$p_1 p_{\text{fonon}} = 0 = \frac{\hbar^2 \omega \Omega}{c^2} - \hbar^2 \vec{k} \cdot \vec{k} (\vec{k}' - \vec{k})$

$\omega \Omega = c^2 [\vec{k} \cdot \vec{k}' - |\vec{k}|^2] = c^2 \vec{k} \cdot \vec{k}' - c^2 |\vec{k}|^2$

$c^2 \vec{k} \cdot \vec{k}' = \omega^2 + \omega \Omega$

$|\vec{k}'| = \frac{\omega^2 + \omega \Omega}{c^2 |\vec{k}|} = |\vec{k}| \frac{\omega(\omega + \Omega)}{\omega^2}$

$|\vec{k}'| = |\vec{k}| \left(1 + \frac{\Omega}{\omega}\right) \rightarrow$ apsorpcija

emisija: $p_1 - p_{\text{fonon}} = p_1'$

$\omega \Omega = \omega^2 - c^2 \vec{k} \cdot \vec{k}'$

$\Rightarrow c^2 \vec{k} \cdot \vec{k}' = \omega^2 - \omega \Omega \Rightarrow |\vec{k}'| = |\vec{k}| \left(1 - \frac{\Omega}{\omega}\right)$

Moćnosti:

1) Ako imamo kontinuum (odnosno sistem) koji je homogen

$I(\vec{q}, \Omega) \sim \iint dt d\vec{r} \langle n(\vec{r}, t) n(\vec{0}, 0) \rangle e^{i(\vec{q} \cdot \vec{r} + \Omega t)}$

- pojavljuje se korelaciona funkcija gustoca - gustoca ali ne više u istom vremenskom trenutku (već u raznim) → tu se nalazi skrivena (upakirana) informacija o vremenskom razvijanju sistema u sektoru gustoce.

↳ definirana u prostoru i vremenu: opisuje dinamiku sistema

Ovisnost korelacione funkcije gustoca - gustoca o vremenu je iznimno važna informacija (Furerau transformacija...)

2) Gibanje rešetke (pretpostavljamo diagonalizaciju po polanzaciji $\vec{r} \rightarrow$ harmonička aproks.)

→ F.t. po \vec{r}, t

$I(\vec{q}, \Omega) \sim \sum_{\vec{r}} (\vec{e}_{\vec{r}} \cdot \vec{q})^2 \langle u_{\vec{r}+\vec{q}}(\Omega) u_{\vec{r}-\vec{q}}(\Omega) \rangle$

(prih: bez rezolucije za frekvencije)

↳ soda: korelaciona funkcija za oscilator po frekvenciji

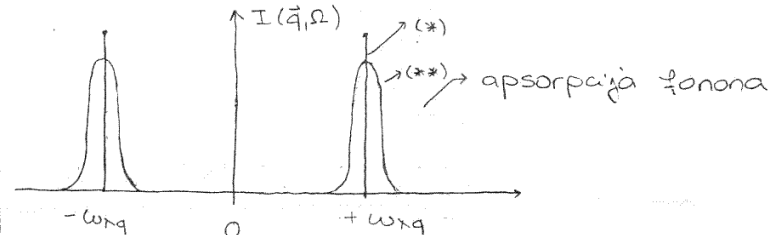
↳ $S(\Omega \pm \omega_{\vec{r}q})$ možemo svaku iščitati iz udarnog presjeka

razne grane imaju različite frekvencije → za svaku dolazi do rezonancije

Ako želimo $I(\vec{q})$ definirati preko k funkcije u istom vremenskom trenutku:

$I(\vec{q}) \sim \int d\Omega I(\vec{q}, \Omega) \times \langle n(\vec{r}, 0) n(\vec{0}, 0) \rangle$

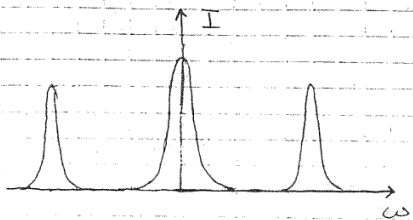
! Harmonička aproksimacija (tj. fononi su potpuno harmonički → mogu su biti i gušeni).



↳ emisija fonona

(*) teorijski δ -peakovi
(**) Lorentzian; zbog gušenja (fonon-fonon, e-e, e-phon)

Postoji još nešto valkov (solitoni)



nekoherentni solitoni (više ω)

solitoni!

- neobjašnjivo harmoničkim ili kvaziharmoničkim modelima.

(dispersija kompenzirana nelinearnošću → valni paket koji putuje kroz nelinearni medij bez promjene oblika)

ostaje lokaliziran ←

dodatok: - razvoj $I(\vec{q}, \Omega)$ (širjenje)

$$I_0(\vec{q}, \Omega) = e^{-2\omega} S(\Omega) \sum_{\vec{G}} S(\vec{q} - \vec{G})$$

$$I_1(\vec{q}, \Omega) = e^{-2\omega} \sum_{\vec{G}} \frac{q^2}{2M\hbar\omega_q} \left\{ n_{\vec{q}\vec{G}} S(\omega - \omega_{\vec{q}\vec{G}}) \sum_{\vec{G}'} S(\vec{q} - \vec{G} - \vec{G}') + (n_{\vec{q}\vec{G}} + 1) S(\omega + \omega_{\vec{q}\vec{G}}) \sum_{\vec{G}'} S(\vec{q} + \vec{G} - \vec{G}') \right\}$$

$\vec{q} = \vec{q} - \vec{G}$

Valni vektor fonona

$$\vec{k} + \vec{G} = \vec{k}' + \vec{K}$$

$$\vec{K} = \pm (\vec{k} - \vec{k}' + \vec{G})$$

$$\vec{K}_{em} = \vec{k} - \vec{k}' + \vec{G} = -\vec{q} + \vec{G}$$

$$\vec{K}_{op} = -(\vec{k} - \vec{k}') - \vec{G} = \vec{q} - \vec{G}$$

\vec{k}, \vec{k}' (valni vektori neutrona prije i poslije raspršenja)

\vec{K} valni vektor fonona emitiranog (+) ili apsorbiranog (-) u procesu

\vec{G} vektor recipročne rešetke

Za fonon odabiremo \vec{G} t. da \vec{k} leži u 1BZ.

- S funkcija: dobili smo rezoluciju i po energiji (frekvenciji) i po valnom vektoru.
- možemo točno odrediti frekvencije (npr. stroboskopom)

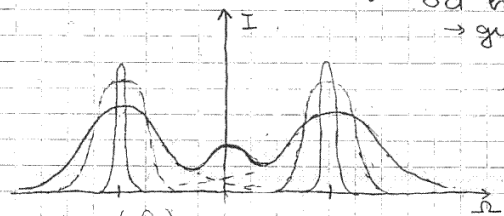
$$I(\vec{q}, \Omega) \sim \frac{4\pi}{\omega_q^2} \left[S(\Omega - \omega_{\vec{q}}) \downarrow \text{apsorpcija} + S(\Omega + \omega_{\vec{q}}) \downarrow \text{emisija} \right]$$

↳ ovo izgleda kao da foton koji dođe, pobudi fonon ili ga pojede.

Rezonance označavaju apsorpciju energije iz vanjskog izvora (za $\omega_{\vec{q}}$) ili emisiju (za $-\omega_{\vec{q}}$). Emisija znači povećanje energije vanjskog zračenja.

Ako pretpostavimo gušenje (nema ∞ kolone en.) → krivulja je Lorentzian (koju i mjerimo) (gušenje nastaje npr. zbog interakcija fonon-fonon ili elektron-fonon ...)
- Ako je gušenje jako liniji se šire pa njihovim sumiranjem u sredini može nastati centralni maksimum.

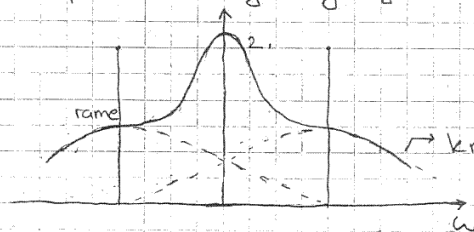
ako malo odmaknemo od harm. aprox. (Lorentzian → gušenje)



→ gušenje: $\hbar\omega$ → širenje (parametar gušenja γ)

Gušenja:

1. potkritično
2. kritično
3. nadkritično



Za nadkritično gušenje ne mogu se čitati frekvencije

- ako se mjen. fonon po fonon-skupor jer se radi neutronima

Kod smo uveli i rezoluciju po vremenu (frekvenciji) došli smo do kraja.

↳ možemo razlučiti razne frekvencije.

13.3.2002 (nostovak predavanja)

Ekspenenti raspršenja

↳ eksperimentalne metode za observiranje oscilacija (raspršenja)

- hoćemo vidjeti fononski spektar tako da budu zadovoljene relacije

$$\vec{k}' = \vec{k} + \vec{q}$$

$$\omega' = \omega + \Omega$$

$$|\vec{k}'| = |\vec{k}| \left(1 - \frac{\Omega}{\omega}\right)$$

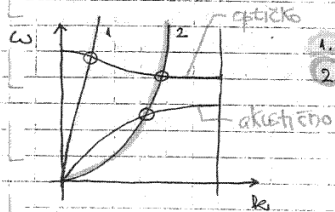
- dobar eksperiment: $|\vec{k}|$ i $|\vec{q}|$ su istog reda veličine (proiznosi momenta (frekvencije) su istog reda veličine kao i ulazni → tada imamo dobru rezoluciju)

Frekvencijska fonona:

$$\Omega \sim 10^{13} \text{ Hz}$$

Dobra rezolucija: $|\Omega| \approx |\omega|$

↳ kada su kvazidegenerirani



- ↳ bacamo na kristal neko. em. zračenje
- ↳ bacamo neutrone (kvadratan spektar - raspršuju se na 2 grama kristala)

Neutroni su zbog polovine mase (brz rast, sigiče u 1BZ) dobro sredstvo za mjerenje vibracionih spektara kristala.

S em. zračenjem teško dolazimo u situaciju da imamo visoku rezoluciju energije → em. zračenje nije pogodno za rezoluiranje energije, ali je pogodno za prostorno rezoluiranje (rezoluiranje valnog vektora)

↳ fonona

$$\omega \approx 10^{-5}$$

↳ ulaznog EM zračenja

(izuzetak 1 točka, 0...)

→ 3 elastično raspršenje

→ za tipične Δ

veličine stope kristalne rešetke

Još jedna mogućnost mjerenja: EM zračenje se može biti vrlo čistih ulaznih energija (laser, električnim izbojem)

⇒ mali pomak mjerenju (nema pogreške u nazivniku $\frac{\Omega}{\omega}$) uspio se mjeriti i akustični mod

↳ se zove Brillouinov efekt

→ promatramo raspršenje unatrag

$$q = 2k, \Omega = 2v_k$$

↳ podudni fononi

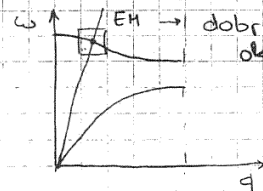
$$\frac{\Omega}{\omega} = \frac{v \cdot 2k}{c \cdot k} = \frac{2v}{c} \approx 10^{-5}$$

↳ pobuda (EM val)

$$E = 1$$

1 zračenje ima istu frekvenciju kao optički fonon (vidljiv)

1) elektromagnetsko zračenje



dobro za optički, a ne valja za akustički spektar (ne sigiče akustičku granu)

- disperzijska relacija EM zračenja:

$$\omega = \frac{c}{v} k$$

Kada tražimo da nam je $q \approx k$ (isti red za EM zračenje), a $q \approx \pi/a$ (rub zone) tada nam EM zračenje ima ($\Omega/\omega \approx 10^{-5}$)

(x-zrake) ima mnogo veću energiju od karakteristične energije fonona pa je raspršenje skoro elastično.

x-zrake slabo se vežu za opt. modove (valda je amplituda raspršenja vrlo mala)

$$k' = k \left(1 - \frac{\Omega}{\omega}\right) \approx k \quad \left\{ \begin{array}{l} \frac{\Omega}{\omega} = \frac{2v_k}{c \cdot k} \sim \frac{v}{c} \rightarrow 10^{-5} \\ \text{brzina svjetlosti} \\ \text{brzina zvuka} \end{array} \right.$$

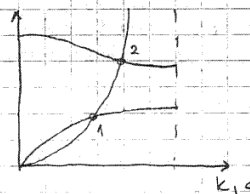
Frekvencija svjetla je tolika da snimi rešetku u istom trenutku ⇒ pogodna za mjerenje $S(\vec{q})$, a ne za $S(\vec{q}, \Omega)$ jer nema rezolucije u Ω .

$q = \frac{\pi}{a} (\approx k) \rightarrow$ kvazielastično raspršenje!

EM zrake su nezgodne za $S(\vec{q}, \Omega)$, ali su dobre za $S(\vec{q})$ (nema rezolucije u vremenu) ⇒ kristal se slika s vrlo brzim klikom.

2) neutroni (termalni - dovoljno niskih energija)

$$E = \frac{\hbar^2 k^2}{2m}, \Omega = \frac{q^2}{2m_n} \quad \text{masa neutrona je "zgodna"}$$



- prelapaju se na sredini 1BZ

- neutroni su pogodni (sigiče disp. krivulje), ali su skupi

1. apsorpcija
2. emisija

↳ s njima ne možemo dokučiti male valne vektore (za to je pogodan ultrazvuk)

- za $k \approx \frac{\pi}{a}, E_k \approx 10-1000 \text{ K}$

1-100 meV ⇒ neutroni su dobar kandidat

(Debyeova) frekvencija fonona 10-1000 K

EM zračenje se veže na atomske dipole, ali ne na dipol pojedinog atoma (iona) nego na kolektivni dipol.

Neutroni se vežu na magn. moment jezgre (ili atoma, ako ga ima, a to je ako ima spin). To znači da se raspršenjem mogu vidjeti spinski valovi (tj. gibanje nuklearnog ili atomskog magnetskog momenta)

* interakcije vezanja pobudivaca i mete (kako primjeti pobudu)

NAPOHENA: frekvencija EM zracenja moze se laserom jako dobro odrediti, moze se izmjeniti pomak 10^{-5} .
 => Brillouin efekt.

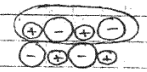
Zracenje se ne mora vezati (raspršivati) na pojedine centre u kristalu -> moze i na cijeli kristal tj. na pomake u cijelom kristalu.

Optički modovi - IR apsorpcija u rešetki (IR aktivnost kristala)

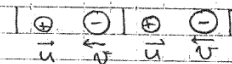
↳ optička svojstva u infracrvenom području

(tipična frekvencija optičkog fonona je 10^{13} Hz -> odgovara λ iz infracrvenog područja -> velike λ , puno veće od stope kristalne rešetke)

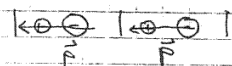
Napustamo ideju da se EM zračenje veže na dipol pojedinačnog atoma, nego se veže na dipol skupa atoma (uvodimo novi model: nabijeni kristal)

Nall:  ovakav lanac nosi dipolni moment, ali ga se dađe zanemariti (poglavito još zbog okolnih lanaca koji ga zasjenjuju)

- struktura ima dipolni karakter
- u cijelom kristalu dipol se gubi zbog kompenzacije drugih slojeva.
- Ali ako sustav više nije ekvidistantan (zbog npr. vibracija kristalne rešetke) (centar pozitivnog i negativnog naboja više nisu u istoj točki)



Stvara se dipol u jediničnoj ćeliji



$$P = Ne(u-v) \rightarrow \text{ukupni dipolni moment}$$

broj ćelija

Dakle konfiguracija kao (*), sama po sebi nema električnog dipola (dipol nastao u gornjem retku je kompenziran dipolom nastalim u donjem dijelu), a ni monopola (jer je totalni naboj 0). Zbog vibracija težišta + i - naboja više nisu ista, pa se javlja dipolni moment.

* elimo promatrati slučaj kod su pomaci isti za svaku ćeliju! sve ćelije se ponašaju jednako. -> to se događa za $|\mathbf{q}|=0 \Rightarrow \lambda \rightarrow \infty$ (dugovalni limes, $\lambda \gg a$).

Uzamo pomake koji su isti u svakoj jediničnoj ćeliji jer nas zanimaju velike λ



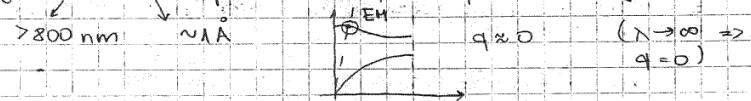
EM zračenje veže se na fonone vrlo velike λ (ovdje uzimamo da je $\mathbf{q}=0, \lambda \rightarrow \infty$) => veže se na kolektivni dipol koji nastaje pomacima svih iona u kristalu

↳ slučaj ionske veze (moraju biti nabijeni ioni, to se ne bi dogodilo da imamo dva atoma različitih masa)

- tokvor nešto \exists samo u ionskom kristalu!

Pogodna pobuda:

To je slučaj u IR području ($\lambda \gg a$), a za IR svojlost je $\lambda \gg a$ (stapa rešetke) pa je puno ćelija u fazi.



- važno: iako \mathbf{q} po iznosu izjednačavamo s 0, pazimo mu orijentaciju!

↳ trebamo razlikovati dvije situacije:

- $\mathbf{P} \parallel \mathbf{q}$ - longitudinalni mod
- $\mathbf{P} \perp \mathbf{q}$ - transverzalni mod

Jednodžbe gibanja (za $q=0$, na njega smo se ograničili)

$$M_1 \ddot{u}_e = C_1 (v_e - u_e) + C_2 (v_{e-1} - u_e)$$

$$M_2 \ddot{v}_e = C_1 (u_e - v_e) + C_2 (u_{e+1} - v_e)$$

$$u_z \quad C_1 = C_2 \text{ (ekvidistantni)} \quad u_i \approx u_{i+1}; \quad v_i \approx v_{i+1}$$

$$M_1 \ddot{u} = 2C [v - u]$$

$$M_2 \ddot{v} = 2C [u - v]$$

↳ možemo zanemariti ovsnost o indeksu l cca 10^{23} lezard. Svesh na 2 (jer se sve ćelije ponašaju jednako)

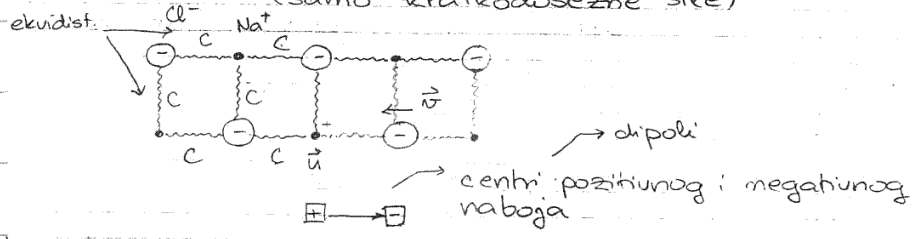
- konstanta elastičnosti C opisuje kratkodosežne sile!

$$-\omega^2 M_1 u = 2C [v - u]$$

$$-\omega^2 M_2 v = 2C [u - v]$$

Nakon uvrštavanja ($q=0$ i E.T) dobivamo jednodžbe za amplitude ravnih valova. Još u model treba ugraditi činjenicu da se stvara lokalno električno polje (od polar. + eventualno vanjsko). To polje za $q=0$ je HOMOGENO (ogromne valne dužine)

$-\omega^2 M_1 u = 2C [v - u] + e E_{LT}$ → dodajemo dugodosežne sile
 $-\omega^2 M_2 v = 2C [u - v] - e E_{LT}$ → lokalno električno polje (polje uzrokovano dipolom)
→ dodajemo ga
konstanta veze između 1. susjeda "rukam" (samo kratkodosežne sile)



→ shema za razdvajanje kratkodosežnih i dugodosežnih sila
 E^* u sebi sadrži unutrašnje polje koje nastaje zbog dipola (dodatok)
 za $q=0$, električno polje je homogeno (ogranične valne duljine), te dugodosežno
 E^* može sadržavati i namiruto vanjsko polje E

U kvadratnoj rešetki bez el. polja longitudinalni i transverzalni modovi imaju istu frekvenciju ($\omega_L = \omega_T$), bez E^* svejedno da li nam je valni vektor paralelan ili okomit → uvijek akhviramo c
 Razlika u ω_L i ω_T nastaje zbog pojave lokalnog polja koje razlikuje longitudinalne od transverzalnih komponentata. Efekt razlikovanja ω_L i ω_T (cijepanje) je posljedica uvođenja dugodosežnih sila. [$E_L \neq E_T$, $\omega_L \neq \omega_T$]

dva načina na koja možemo nastaviti:
 1. Na sistem stavljamo vanjsko polje (pogodi se lokalno) i gledamo odgovor sistema

2. Spontane vibracije koje izazivaju lokalno polje (fluktacije oko ravnoteže, $q=0$) → pogodi se električni dipol koji ulazi u lokalno polje.
 → naboj koji sudjeluje u stvaranju dipola u sudvoj jed. celiji
 $P = N e (u - v)$
 → broj, → d. celija
 → dipol $P \sim$ za pomacima
 → zbog dipolnog momenta u sistemu se javlja polarizacija
 - kod el. polja u sistemu dolazi do izražaja i struktura kristalne rešetke.

a formula je ista: bez obzira da li su pomaci okomiti ili paralelni na valni vektor. Razlika u L i T ne dolazi zbog toga što su dipoli različiti.

Razlika između longitudinalnog i transverzalnog slučaja:

$D = \epsilon E = E + 4\pi P$
 → dielektrični pomak
 $E \rightarrow$ sadrži sve informacije o materijalu u **APRKS LINEARNOG ODZIVA** (koja vrijedi za mala polja: lin odnos inducirane gustoće i smetnje: $\Delta S = E \cdot \phi$ → potencijal smetnje)

1. Maxwellove jednačine:
 $\vec{\nabla} \cdot \vec{D} = 0$ (uzimamo da nema vanjskog naboja u kristolu)

$\vec{k} \cdot \epsilon \cdot \vec{E} = 0$ → nultočka dielektrične funkcije usrednjeno
 $\vec{k} \cdot \vec{E}_L \neq 0 \Rightarrow \epsilon(\omega_L) = 0 \Rightarrow D = 0, E = -4\pi P$ makroskopsko polje

2. $\text{rot } \vec{E} \approx 0$ (nerekativistička granica $c \rightarrow \infty$)
 $\vec{k} \times \vec{E} = 0$

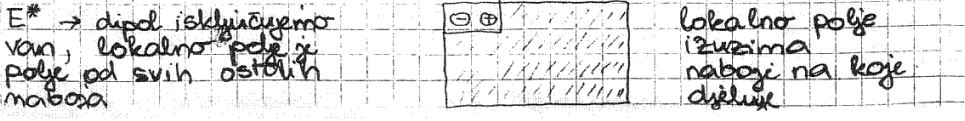
Ako je $\vec{k} \times \vec{E}_T \neq 0 \Rightarrow E_T = 0 \Rightarrow D = 4\pi P$
 $(\vec{k} \perp \vec{E}_T)$ $\epsilon(\omega_T) = \infty$
 → pol dielektrične funkcije

Lokalno polje: Za kubičnu rešetku (gdje je dim. dipola \ll promatranih N) vrijedi **CLAUSIUS-MOSSOTIJEVA** relacija (dobije se usrednjavanjem - izvod kasnije) ↓
 \Rightarrow lokalno polje: $\frac{\epsilon - 1}{\epsilon + 2} = \frac{4\pi}{3} N \alpha$

$E^* = E + \frac{4\pi}{3} P$ → polarizacija od same rešetke (ioni)
 → vrijedi u materijalu koji ima kubičnu simetriju (gdje se može izrezati kugla a da se ne narusi kubična simetrija)

1) $E_L^* = -4\pi P + \frac{4\pi}{3} P = -\frac{8\pi}{3} P \Rightarrow$ dobivamo različite ω_L i ω_T .
 2) $E_T^* = \frac{4\pi}{3} P$

ω_L - nultočka dielektrične funkcije
 ω_T - pol dielektrične funkcije
 $E \rightarrow$ povezivanje s dielektričnim svojstvima kristala → s odgovorom sistema na vanjsko polje.



Makroskopsko polje uključuje sve nabojne

Pri usrednjavanju E^* treba paziti, vanjsko polje se zbroji s lokalnim atomskim poljem, pa se onda usredniji, a ne usrednjiti samo vanjsko jer bi dobili $E^* = E$, a to nije točno.

Direktno se služimo rezultatima Lorentzove teorije:

$$P = Ne(u-v) = \frac{Ne^2(M_1+M_2)}{M_1M_2(\omega_0^2 - \omega^2 - i\gamma\omega)} E^* \quad (**)$$

↳ koeficijent gušenja (smješta pol u pravu stranu)

↳ rješavanjem jednadžbi * (uz dodatni gušenja):

$$\begin{cases} -\omega^2 M_1 u = -2C[u-v] + eE^* & / (-M_2) \\ -\omega^2 M_2 v = 2C[u-v] - eE^* & / M_1 \end{cases} + \text{Dodatak - Lorentzova teorija}$$

$$M_1 M_2 [u-v] \left\{ \omega^2 - \frac{2C(M_1+M_2)}{M_1 M_2} \right\} = -e(M_1+M_2) E^*$$

ω_0^2

$$\Rightarrow [u-v] = \frac{e(M_1+M_2)}{(\omega_0^2 - \omega^2) M_1 M_2} E^* \quad \text{valjda}$$

Ako uključimo i gušenje: $-P_u \cdot u \quad P_u \equiv H_1 \gamma$

$$\begin{cases} -\omega^2 M_1 u = -2C[u-v] + i\omega H_1 \gamma u + eE^* & / (-M_2) \\ -\omega^2 M_2 v = 2C[u-v] + i\omega H_2 \gamma v - eE^* & / M_1 \end{cases}$$

$-P_v \cdot v \quad P_v \equiv H_2 \gamma$

$$\Rightarrow [u-v] = \frac{e(M_1+M_2)}{M_1 M_2 (\omega_0^2 - \omega^2 - i\gamma\omega)}$$

(**) izgleda kao odziv na polje E^* .

$$P = N \Delta E^* \quad \text{↳ polarizabilnost sistema}$$

$$E^* = E + \frac{4\pi}{3} P \quad \Rightarrow \quad \epsilon(\omega) = \frac{E + 4\pi P}{E} = \frac{E^* + \frac{8\pi}{3} P}{E^* - \frac{4\pi}{3} P} \Rightarrow$$

$$\Rightarrow \epsilon(\omega) = \frac{1 + \frac{8\pi}{3} N \Delta}{1 - \frac{4\pi}{3} N \Delta} \quad \text{(Lorentzova teorija)}$$

↳ rezultat

$$\Rightarrow \frac{4\pi}{3} N \Delta = \frac{\epsilon - 1}{\epsilon + 2}$$

$$\epsilon(\omega) = \frac{1 + \frac{8\pi}{3} N \Delta}{1 - \frac{4\pi}{3} N \Delta} = \frac{\omega_L^2 - \omega^2}{\omega_T^2 - \omega^2 - i\gamma\omega}$$

nula dielektrične funkcije ω_L a pol (diverg.) ω_T .

$$P = N \frac{e^2(M_1+M_2)}{M_1 M_2 (\omega_0^2 - \omega^2 - i\gamma\omega)} E^* = N \Delta E^*$$

$$\omega_0^2 = 2C \frac{(M_1+M_2)}{M_1 M_2} \Rightarrow \Delta(\omega) = \frac{e^2 \omega_0^2}{2C (\omega_0^2 - \omega^2 - i\gamma\omega)}$$

$$\epsilon(\omega) = \frac{6C(\omega_0^2 - \omega^2 - i\gamma\omega) + 8\pi N e^2 \omega_0^2}{6C(\omega_0^2 - \omega^2 - i\gamma\omega) - 4\pi N e^2 \omega_0^2}$$

ima rezonantni karakter

$$= \frac{\omega_0^2 \left\{ 1 + \frac{8\pi N e^2}{6C} \right\} - i\gamma\omega - \omega^2}{\omega_0^2 \left\{ 1 - \frac{4\pi N e^2}{6C} \right\} - \omega^2 - i\gamma\omega}$$

E nema singularitet za ω_0

$\omega_0^2 = 2C \frac{(M_1+M_2)}{M_1 M_2}$ → to bi bila vlastita frekvencija ovog sistema da nema (frekv. za kratkosežne dugosežne sile) (da nema E^*)
↳ $\omega_L = \omega_T = \omega_0$

$$\epsilon(0) = \frac{\omega_L^2}{\omega_T^2} \rightarrow \text{ta relacija povezuje vibraciona i dielektrična svojstva}$$

Razlika $\omega_L^2 - \omega_T^2$ dana je samo dugosežnim svojstvima.

$$\omega_L^2 - \omega_T^2 = \frac{4\pi e^2 N}{\mu} \quad \text{↳ naboj / gusoba}$$

masa

$$\frac{1}{\mu} = \frac{1}{M_1} + \frac{1}{M_2}$$

↳ dugosežne sile ne vide detalje sistema (kristalnu rešetku), vide samo naboj, gustocu i masu

$$\omega_L^2 - \omega_T^2 = \omega_0^2 \left\{ 1 + \frac{8\pi N e^2}{6C} - 1 - \frac{4\pi N e^2}{6C} \right\}$$

$$= \omega_0^2 \frac{2\pi N e^2}{C} = \frac{2C}{\mu} \frac{2\pi N e^2}{e} = \frac{4\pi N e^2}{\mu} \quad \text{QED}$$

↳ sve dolazi od dugosežnih sila
 $e^2 = 0 \Rightarrow \omega_L = \omega_T$

$$\epsilon(\omega) = \frac{\omega_p^2}{\omega^2}$$

statička dielektrična konstanta postoji $\epsilon \neq 1$ zbog pojave dugodosežnih sila.

Lyddone-Teller-Sachsava relacija

LST relacija

↳ možemo je generalizirati

- zanemari smo sve efekte u polarizabilnosti osim gibanja atoma (tj. iona), ako narinemmo polje i sami atomi se mogu polarizirati - može doći do atomskih prijelaza

- proširenje prethodnog modela → uključivanje činjenice da dipoli ne nastaju samo zbog pomaka nego i zbog toga što se atomi mogu polarizirati

↳ pobuđuje se svaki posebno, ali su svi u fazi - potpuno koherentno po cijelom kristalu

$$\omega_L, \omega_T < \omega < \omega_{AT}^e$$

↑
10¹³ Hz
0.1 eV

↳ frekvencije pobude u atomu (~10 eV, 1 Ry)
(fr. dipolnih prijelaza u atomima povezuje stanja i sa stanjima l+1)

↳ promatramo područje ispod rezonantnih frekvencija u atomu, a iznad rezonantnih frekvencija u kristalu.

⇒ može se opisati konstantom (jer smo daleko od rezonancija):

$$\epsilon(\omega) = \epsilon_\infty \frac{\omega_T^2 - \omega^2}{\omega_T^2 - \omega^2 - i\gamma\omega}$$

doprinos od kolektivnog gibanja iona i od nerezonantnog doprinosa

brine se o kauzalnosti, kaže gdje je pol u kompleksnoj ravnini

$\epsilon_\infty \neq 1$ jer se polariziraju pojedini ioni, ali ne rezonantno

$\epsilon(\omega = \omega_L) = 0$ → vlastiti long. mod

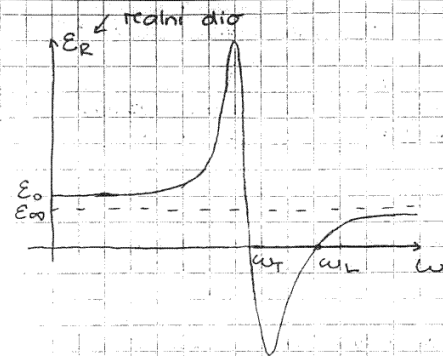
$\epsilon(\omega = \omega_T) = \infty$ → vlastiti transv. mod

$$\frac{\epsilon_0}{\epsilon_\infty} = \frac{\omega_L^2}{\omega_T^2}$$

Lyddone, Sacks, Tellerova relacija

$$\epsilon_\infty = \epsilon(\omega \rightarrow \infty) (= 1)$$

↳ u našem modelu (to znači da nismo uzeli u obzir elektronske) dipolne doprinose polarizaciji



- jako daleko (u atomskom dijelu) to bi opet počelo oscilirati (karakteristične atomske oscilacije)



Kristali postaju vrlo ophćeli aktivni kod se na njih bac zračenje sa $\omega = \omega_L$ (pokazuje rezonantnu aktivnost, infracrvena aktivnost → tehnička primjena)

Dakle, identificirali smo dva moda titranja rešetke (fononi) T(ω_T) & L(ω_L).

Papćenje jednačbe za $\epsilon(\omega)$:

U našem modelu pretpostavili smo dva kruta naboja bez strukture



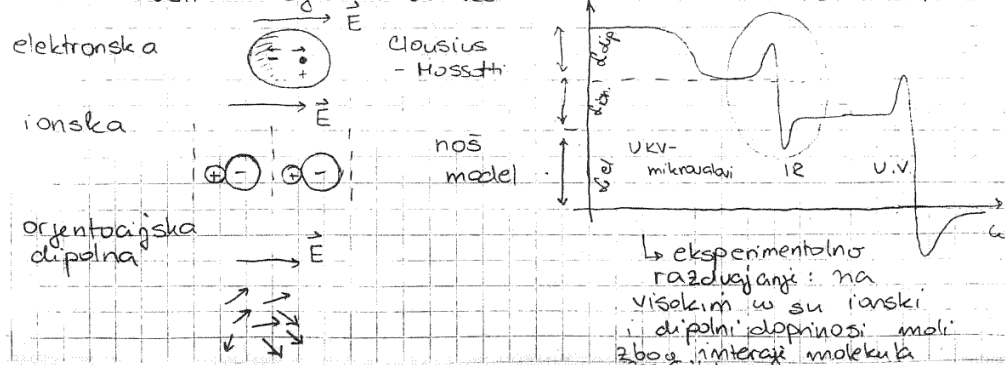
Dodatni doprinosi (u realnosti):

(1) elektroni koji kruže → zbog el. polja dolazi do polarizacije

(2) molekule mogu imati permanentne dipolne momente koje E orijentira.

Dielektrično (polariz.) počinje ovisiti o frekvenciji samo kod g. energija EM mala reda veličine atomskih skokova ~10 eV (1 Ry) dok mi radimo s ~1 meV pa za IR područje frekvencije zonomarujemo ovisnost dielektrično o frekvenciji: $d_e(\omega) = cte, \omega \ll 10 \text{ eV}$

U realnosti to izgleda ovako:



↳ eksperimentalno razdvajanje: na visokim ω su ionski dipolni doprinosi mali zbog interakcije molekula

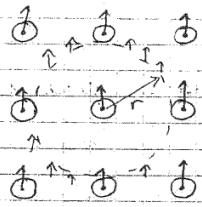
Zaključak:

ω_L i ω_T su 2 svojstvena rješenja jednodžbi gibanja. To je posljedica postojanja 2 različita lokalna polja E^* ($E_{L,T}^*$) koja se drugačije vežu na polanizaciju.

Dodatok: Lorentzova korekcija lokalnog polja E^*

Zbog čega se ne može uzeti da je polje koje polanizira svaki atom makroskopsko polje koje primamo mjerimo na kristal?

Atom se ne nalazi u potpuno kontinuiranom mediju. On se nalazi u rešetki gdje je okružen (ali ne i prožet) ostalim jednako polaniziranim atomima. Lorentzova korekcija svodi se na to da se utjecaj drugih atoma svede na polje sferne supljine jednake polanizacije. To je moguće za kubične kristale gdje je prostor oko atoma približno sfernog oblika.



lokalno, ekektivno mikroskopsko polje

$$\vec{D}(\vec{r}) = \vec{E}(\vec{r}) + 4\pi \vec{P}(\vec{r})$$

$$\nabla \cdot \vec{D}(\vec{r}) = 4\pi \epsilon_{slobodno}$$

$$\nabla \cdot \vec{E}(\vec{r}) = 4\pi (\epsilon_{slobodno} + \epsilon_{vezano})$$

$$\epsilon_{slobodno} = 0$$

$$\Rightarrow \nabla \cdot \vec{P}(\vec{r}) = -\epsilon_{vezano}$$

$$\nabla \cdot \vec{E}(\vec{r}) = -4\pi \nabla \cdot \vec{P}(\vec{r})$$

$$\vec{E}_{loc} = \vec{E} + \frac{4}{3}\pi \vec{P} \equiv \vec{E}^* \quad (*)$$

prosjčna polanizacija

gustoća dipola (vektor polanizacije)

$$V(\vec{r}) = \int_V \vec{P} \cdot \nabla' \frac{1}{|\vec{r} - \vec{r}'|} d\vec{r}'$$



$$V(\vec{r}) = \int_S \frac{\vec{P} \cdot d\vec{\Phi}'}{|\vec{r} - \vec{r}'|^2} + \int_V \frac{(-\text{div } \vec{P})}{|\vec{r} - \vec{r}'|} d\vec{r}' = 0$$

$$P_n = P \cos \alpha$$

$$\vec{P} = \text{const}$$

\hookrightarrow kao potencijal površinske gustoće $\omega_n = P_n$ (normalna komponenta) \hookrightarrow kao volumna distribucija naboja $\rho = -\text{div } \vec{P}$

rotaciono invarijantan problem \rightarrow uzimamo \vec{r} na x-osi

$$\vec{E}(\vec{r}) = -\nabla V(\vec{r}) = -\int \frac{\vec{P} d\vec{\Phi}' \cdot (\vec{r} - \vec{r}')}{|\vec{r} - \vec{r}'|^3}$$

$$\vec{E}(0) = -\int \frac{\vec{P} d\vec{\Phi}' \cdot \vec{r}'}{r'^3} = -\int \vec{P} d\vec{\Phi}' \cdot \left[\frac{\sin \theta \cos \varphi}{r'^2} \hat{x} + \frac{\sin \theta \sin \varphi}{r'^2} \hat{y} + \frac{\cos \theta}{r'^2} \hat{z} \right]$$

$$\vec{E}_x(0) = P \int_0^\pi d\theta \int_0^{2\pi} d\varphi \sin^2 \theta \cos \theta \cos \varphi = 0 \quad \vec{E}_y(0) = 0$$

$$P \rightarrow \text{u smjeru } z \quad d\vec{\Phi}' \text{ u smjeru } -\hat{r}' \quad d\vec{\Phi}' = -\hat{r}' r'^2 \sin \theta d\theta d\varphi$$

$$E_z(0) = P \int_0^\pi d\theta \int_0^{2\pi} d\varphi \sin \theta \cos^2 \theta = -2\pi P \int_1^{-1} d(\cos \theta) \cos^2 \theta = 2\pi P \int_{-1}^1 x^2 dx = \frac{4\pi}{3} P$$

(*) onda vodi na Clausius-Mosottijevu relaciju:

$$\frac{\epsilon - 1}{\epsilon + 2} = \frac{4}{3} \pi N d$$

20.3.2002.

$\vec{D} = \epsilon \vec{E} = \vec{E} + 4\pi \vec{P}$
 \hookrightarrow dielektrična funkcija
 Maxwellove jednodžbe:

ϵ - sadrži sve informacije o materijalu u aproksimaciji linearnog odziva

$$1) \nabla \times \vec{H} = \frac{4\pi}{c} \vec{j} + \frac{1}{c} \frac{\partial \vec{D}}{\partial t}$$

$$2) \nabla \times \vec{E} = -\frac{1}{c} \frac{\partial \vec{B}}{\partial t}$$

$$3) \nabla \cdot \vec{D} = 4\pi \epsilon_{slob.}$$

uzimamo $\vec{j} = 0$
 $\epsilon = 0$

$$4) \nabla \cdot \vec{B} = 0$$

uzimamo: $\mu = 1$ (magnetska permeabilnost) \hookrightarrow radimo s nemagnetskim tvarima

Želimo roditi ϵ ravnim valovima:

$$\vec{E} = \vec{E}_0 e^{i(\vec{k}\vec{r} - \omega t)}$$

$$\vec{H} = \vec{H}_0 e^{i(\vec{k}\vec{r} - \omega t)}$$

\Rightarrow Maxwellove jednodžbe postoju (uz $\epsilon = 0, \vec{j} = \vec{0}$)

$$i\vec{k} \times \vec{H} = -\frac{i\omega}{c} \epsilon(\omega) \vec{E}$$

$$i\vec{k} \times \vec{E} = \frac{i\omega}{c} \vec{B}$$

$\mu = 1$ (magnetska permeabilnost) \hookrightarrow radimo s nemagnetskim tvarima

$$i\vec{k} \cdot \vec{D} = 0$$

$$i\vec{k} \cdot \vec{H} = 0$$

\hookrightarrow nema vanjskog naboja

$$\epsilon(\omega) = \epsilon_\infty \frac{\omega^2 - \omega^2}{\omega^2 - \omega^2 - i\gamma\omega}$$

$$\frac{\epsilon_0}{\epsilon_\infty} \approx \frac{\omega_T^2}{\omega_f^2} \quad \text{LST relacija}$$

$$i\vec{k} \times \vec{H} = -\frac{i\omega}{c} \epsilon(\omega) \vec{E}$$

$$i\vec{k} \times \vec{E} = i\frac{\omega}{c} \mu \vec{H}$$

$$\epsilon(\omega) \quad i\vec{k} \cdot \vec{E} = 0$$

$$\mu \quad i\vec{k} \cdot \vec{H} = 0$$

$$i\vec{k} \times (i\vec{k} \times \vec{E}) = \mu/c \ i\omega (i\vec{k} \times \vec{H})$$

$$k^2 \vec{E} = \frac{\mu\omega^2}{c^2} \epsilon(\omega) \vec{E} \quad \text{dispersionna jednačina}$$

$$k = k_R + ik_I = \omega/c \sqrt{\epsilon_R + i\epsilon_I} \quad /^2$$

$$k_R^2 - k_I^2 = \omega^2/c^2 \epsilon_R \quad (*)$$

$$2k_R k_I = \omega^2/c^2 \epsilon_I$$

Metode mjerenja $\epsilon(\omega)$:

Za opis apsorpcije energije vala u sredstvu uodimo kompleksni valni vektor. Uzmimo ovalnu situaciju:

$$k = k_R + ik_I \equiv \frac{\omega}{c} \sqrt{\epsilon_R + i\epsilon_I}$$

ili je $k \in \mathbb{C}$ & $\omega \in \mathbb{R}$
ili je $k \in \mathbb{R}$ & $\omega \in \mathbb{C}$

1) Mjerenje ϵ_I

Disipacija gustoće energije:

$$\text{Re} \left[\frac{\partial}{\partial t} \left[\frac{\vec{D} \cdot \vec{E}}{4\pi} \right] \right] = \frac{1}{4\pi} \text{Re} \left[\frac{\partial}{\partial t} \left[\vec{D} \cdot \vec{E} \right] \right] = \frac{\omega}{4\pi} \epsilon_I E^2 \equiv \mathcal{G} \cdot E^2$$

gustoća
električne
energije (u
izračene)

$$(\epsilon_R + i\epsilon_I) \vec{E} \cdot \vec{E} = -i\omega \vec{E} \cdot \vec{E}$$

=> disipacija
energije (toplina)
zbog otpora
struj. izazvanog
el. poljem

Jouleov zakon
(opisuje proizvodnju
Jouleove topline,
predaju en. vibracijama)

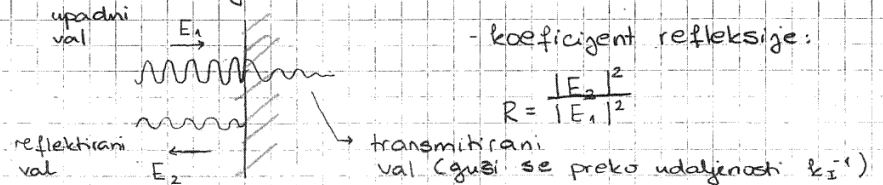
$$\epsilon_I = \frac{4\pi}{\omega} \mathcal{G}$$

mjerenjem
vodljivosti medija
 \mathcal{G} određujemo
 ϵ_I

2) Eksperiment

- puštamo el. polje (val) na KRISTAL: dio prodire, a dio se reflektira

Normalna incidencija em. vala:



- koeficijent refleksije:

$$R = \frac{|E_2|^2}{|E_1|^2}$$

transmitirani val (gubi se preko udaljenosti k_I^{-1})

↳ normalni upad (za općenitu situaciju koristimo Fresnelove formule)

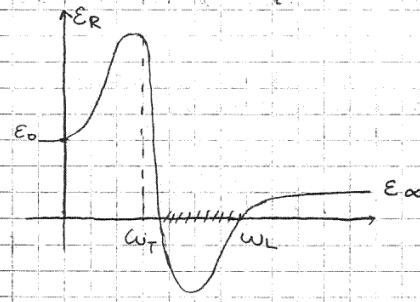
Iz Fresnelovih jednačini:

$$R = \frac{(k_R - \frac{\omega}{c})^2 + k_I^2}{(k_R + \frac{\omega}{c})^2 + k_I^2}$$

→ mjerimo ga a preko
naga i elastična
svojstva

Mjerenjem R dobivamo vezu k_R i k_I (eksperimentalnu).
S izmjerenim ϵ_I možemo iz relacija (*) odrediti ϵ_R .

Specijalno zanimljivo: slučaj: $k_R = 0 \Rightarrow \epsilon_I = 0, \epsilon_R < 0$

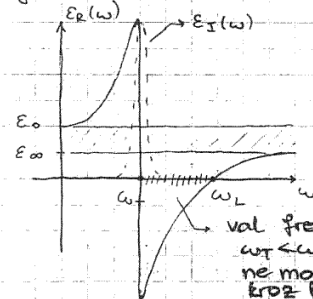


$$k_I = \frac{\omega}{c} \sqrt{-\epsilon_R}$$

=> val transmitiran
tme, ali ne disipira
energiju
(dubina prodiranja em.
= $1/k_I$) zračenja
u sredstvu

$$\frac{\epsilon_0}{\epsilon_\infty} = \frac{\omega_L^2}{\omega_T^2} \quad \text{LST}$$

Tj:



→ na dijelu $\omega \in (\omega_T, \omega_L)$
 $\epsilon_R < 0 \Rightarrow k$ je imaginaran
 \Rightarrow u području $\omega \in (\omega_T, \omega_L)$
nema propagacije vala
zbog $\epsilon_I = 0$ nema disipacije
(apsorpcije) => TOTALNA REFLEKSIJA
↳ iz Jouleovog zakona
 $R = 1$ (Restohli zračenje) (*)
 $k_I \neq 0$, valni
vektor $k_I < 0$

Napomena: Drugačiji prikaz $\epsilon(\omega)$

$$\epsilon(\omega) = \epsilon_\infty \frac{\omega_T^2 - \omega^2}{\omega_T^2 - \omega^2 - i\gamma\omega}$$

=> val $\sim e^{-|k_I r|}$

=> exp. gušenje
Val ipak prodire u
sredstvo do dužine
 $\sim \frac{1}{k_I}$, ali bez disipacije

(nema nikakvog ulaza
energije u sam kristal, bez
oscilacija, exp. gušenja)

$$\frac{1}{x \pm iy} \stackrel{y \rightarrow 0}{=} \frac{1}{x} \mp i\pi \delta(x)$$

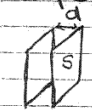
$$\frac{1}{\omega_T^2 - \omega^2 - i\gamma\omega} \stackrel{\gamma \rightarrow 0}{=} \frac{1}{\omega_T^2 - \omega^2 + i\pi \delta(\omega_T^2 - \omega^2)}$$

$$\begin{aligned} \Rightarrow \epsilon_R(\omega) &= \epsilon_\infty \frac{\omega_L^2 - \omega^2}{\omega_T^2 - \omega^2} = \epsilon_\infty \frac{\omega_L^2 + \omega_T^2 - \omega^2 - \omega_T^2}{\omega_T^2 - \omega^2} \\ &= \epsilon_\infty + \epsilon_\infty \frac{\omega_L^2 - \omega_T^2}{\omega_T^2 - \omega^2} = \epsilon_\infty + \frac{\omega_T^2 - \omega_L^2}{\omega^2 - \omega_T^2} \cdot \epsilon_\infty \\ &= \epsilon_\infty + \frac{1 - \frac{\epsilon_0}{\epsilon_\infty}}{\frac{\omega^2}{\omega_T^2} - 1} \cdot \epsilon_\infty = \epsilon_\infty + \frac{\epsilon_\infty - \epsilon_0}{\frac{\omega^2}{\omega_T^2} - 1} \\ &= \epsilon_\infty + \frac{\epsilon_\infty - \epsilon_0}{\omega^2 - \omega_T^2} \cdot \omega_T^2 \end{aligned}$$

imaginarni dio \exists samo oko ω_T
 γ = gušenje zbog izlaska iz harmoničke aproksimacije

ω_L i ω_T su 2 svojstvena rješenja jednodžbi gibanja. To je posljedica \exists 2 različita lokalna polja E^* koja se drugačije vežu na polarizaciju.

ϵ_0 - mjerimo u kondenzatoru tako da usporedimo kapacitet (statičko električno polje) s kristalom i bez njega

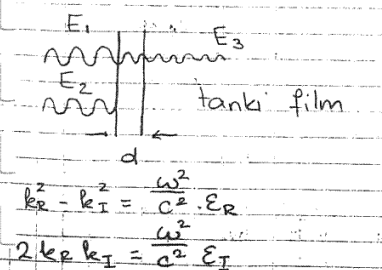


$C = \frac{\epsilon_0 \cdot S}{d} \Rightarrow \epsilon_0 = \frac{C \cdot d}{S}$

ϵ_∞ - određuje optička svojstva u vidljivom području
 $n = \sqrt{\epsilon_\infty}$ (index loma)

→ iz refleksije ω_L, ω_T mijenimo (opis kasnije)

b) Eksperiment: Transmisija kroz tanki film debljine d (još jedan način mjerenja k_I , mjerenje ω_T)

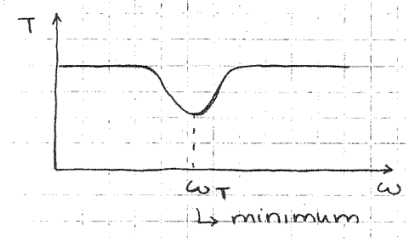


- napravimo tanki film: $d < k_I^{-1}$ (k_I je funkcija frekvencije)
 i dobit ćemo transmisiju vala kroz film.
 - kod mijenjanja frekvenciju (mijenja se k_I), za fiksnu debljinu filma d imamo jaku i slabu transmisiju

$$k_e^2 - k_I^2 = \frac{\omega^2}{c^2} \cdot \epsilon_R$$

$$2k_e k_I = \frac{\omega^2}{c^2} \epsilon_I$$

Za $\omega = \omega_T$ transmisija je smanjena (mala transmisija jer je jako gušenje) (zračenje ide kroz film, nema totalne refleksije zbog $d < k_I^{-1}$)



- ovako se men: ω_T
 - rade se tzv. IR aktivni tanki filmovi (ϵ_I i ϵ_e nisu nezavisne veličine, povezane su Kramers-Kronigovim relacijama)

(Nall, debljine 10^3 \AA na $\omega = \omega_T$ $T = 50\%$ os...)

(*) $R=1$ $\omega_T < \omega < \omega_L$ Restohl zračenje - totalna refleksivnost

(to je ono što zovemo infracrvenom aktivnošću kristala; (IR) zračenje) → nosi istu amplitudu koju ima upodno zračenje
 - IR aktivnost kristala je fizikalna baza svih IR uređaja
 - apsorpcija se događa samo gdje je imaginarni dio dielektrične konstante $\epsilon_I \neq 0$

Sad napuštamo granicu $k=0$ ($q=0$)
 - pretpostovljamo da ϵ ne ovisi o k (tj. potpuno smo zanemarili $\epsilon(k, \omega) \rightarrow 1$ fizikalna pp.)

Maxwellove jedn. $\Rightarrow k^2 = \frac{\mu\omega^2}{c^2} \epsilon(\omega)$ $\mu=1$

$$\epsilon_R(\omega) = \epsilon_\infty + \frac{\epsilon_\infty - \epsilon_0}{\frac{\omega^2}{\omega_T^2} - 1} \quad (\text{samo realni dio})$$

$$\Rightarrow \epsilon_\infty \omega^4 - \omega^2 (\omega_T^2 \epsilon_0 + k^2 c^2) + \omega_T^2 k^2 c^2 = 0 \quad (*)$$

2 rješenja - 2 grane:

$$\omega_{\pm}^2 = \frac{\omega_T^2 \epsilon_0 + k^2 c^2 \pm \sqrt{(\omega_T^2 \epsilon_0 + k^2 c^2)^2 - 4\epsilon_\infty \omega_T^2 k^2 c^2}}{2\epsilon_\infty}$$

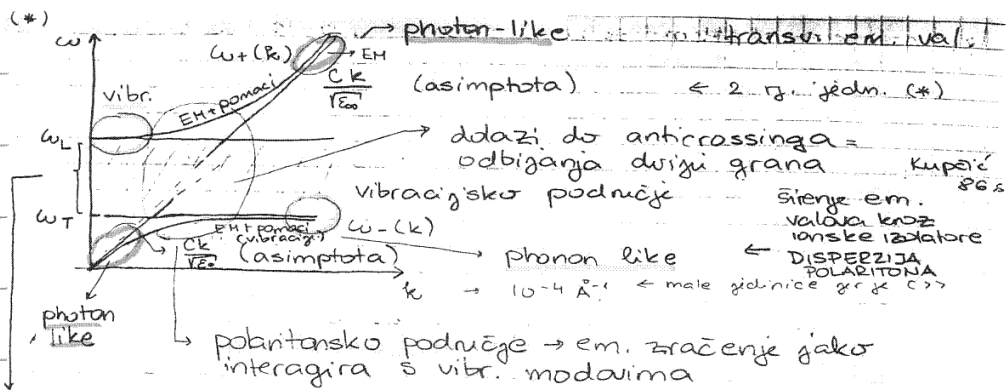
→ to je disperzija (photon like)

limesi:

$$k \rightarrow 0: \omega_- = \frac{c k}{\sqrt{\epsilon_0}} \quad \omega_+ \rightarrow \omega_L$$

$$k \rightarrow \infty: \omega_+ = \frac{c k}{\sqrt{\epsilon_\infty}} \quad \omega_- = \omega_T$$

(za $c \rightarrow \infty$ ostane samo dio $\omega_+ = \omega_L$ i $\omega_- = \omega_T$ nerelativistička granica, ne bismo imali dio grafa za najnižeg k -ove)



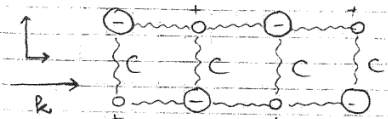
gap! područje $\omega \in (\omega_T, \omega_L)$ gdje nema propagacije vala već je totalna refleksija od kristala

* Disperzijska relacija EM vala u interakciji s kristalom (transverzalni EM modovi)

Područje polaritona: područje gdje su modovi (EM zračenje i vibracijski mod) miješani = polaritoni = miješani EM i vibracijski modovi relativ. karaktera; postoji samo u području malog k (tj. pretpostavili smo da je c konačna)

Debitivna rješenja su vlastita pobudjenja kristala? koja imaju miješani vibracijsko-EM karakter. Za male frekvencije dominira EM zračenje.

- vrlo malo područje k -ova (relativističko područje)
- linearna kombinacija podarnih 2-eksitacija - to su onda vlastite eksitacije
- transverzalno polje veže se na transverzalno gibanje u kristalu
- u Maxwellovim $\vec{j} = 1$ dielekt. konst. koja ne razlikuje long od transverz. gibanja - izbor dielekt. konst. je invarijantan.
- polaritoni su posljedica vezanja EM zračenja na dipol. (mješavite eksitacije)
- transverzalno polje veže se samo na transverzalne modove



- zato se ne pojavljuje asimptotska grana ω_L

EM zračenje koje ide brzinom c je transverzalno.

$$\text{duljina talasa } \vec{E} = 4\pi \vec{S}$$

$$\text{ili } \vec{E} = 4\pi \vec{S}$$

long zračenje (vremenska skala od g → ide sporo)

105

↳ em mjerenja: Mogli smo i neutronima testirati vibracijski spektar

	NaI	KBr	GaAs
vibracijska svojstva $\frac{\omega_L}{\omega_T}$	1.44	1.39	1.02
dielektrična svojstva $[\epsilon_0/\epsilon_\infty]^{1/2}$	1.45	1.38	1.08

↳ nezavisna mjerenja - slaganje dobro s obzirom na jednostavnost modela, ali ovo su dugodosežne kulonske sile (ne naročito osjetljive na detalje kristalne rešetke)

Fonone možemo promatrati i preko:

RAMAN EFEKT (na frekv. \gg fononskih, ali $<$ od elektronskih)

- najjednostavnije puštamo fotone kroz materijal
- a) ako dio fotonske energije apsorbira molekula, izlazi foton je manje energije → Stokesova linija
- b) ako ulazni foton naiđe na pobudenu molekulu, apsorbira energiju i izlazi s većom energijom ⇒ anti-Stokesova linija

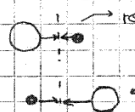
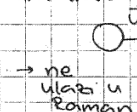
Važnost fenomena: omogućava praćenje molekularnih pojava optičkom spektroskopijom (pomaka jezgre smo se riješili tako da u svakom trenutku dijagonaliziramo H , inače oni su mali, adijabatski)

Molekulske frekvencije su niske u IR području. Ramanovim efektom one se superponiraju na fotonske koje su puno veće i time molekularna fizika postaje dostupna istraživanju optičkim spektrometrima (tj. u vidljivoj svjetlosti). Inače se koristi infracrvena i mikrovalna spektroskopija. Za $\vec{q} = 0$ moguće je dvostruko porušanje fonona kod kristala s centrom simetrije.

IR-AKTIVNOST → 1) "VEKTORSKI FONON" - fonon se pri zračenju preko centra simetrije ponaša kao vektor. To je slučaj kod imamo različite atome u ćeliji

$$\vec{p} \sim \vec{u}$$

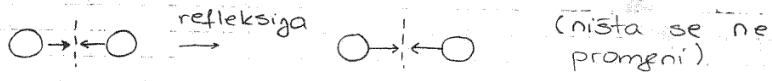
$\vec{p} \sim \vec{u}$



(kao da zamjeni predznak)

- kod heteroatomnih molekula refleksijom oko centra simetrije mijenja predznak

RAHAN AKTIVNOST → 2) "TENZORSKI FONON." ⇒ homopolarne molekule (ili istovrsni atomi u jed. cel. → nema optičkih modova): refleksijom oko centra simetrije ne mijenja se predznak ⇒ tenzorski karakter



polarižabilnost: $\hat{d} = \hat{\epsilon} \{u\}$
↳ polje pomaka

↳ razvoj tenzora u tenzor: $\hat{d}(\{u\}) \approx \hat{d}_0 + \hat{d}_1^{(1)} \sim \{u\}$
tenzor (linearnost u $\{u\}$)
napišimo to kao

$$P_{\alpha} = \sum_{\beta} \hat{d}_{\alpha\beta} E_{\beta}^*$$

dipolni moment: $p = \hat{d} E^*$
(od prije)

- pp atomi su u ravnotežnom položaju i sve je aditivno
- ako se atomi miču iz položaja ravnoteže ⇒ fononi

$\hat{d}(X_{j0}, \omega_{j0})$, $\omega_{j0} = \omega_j - \omega_0$ & $\omega_{ph} < \omega_{j0}$ (0.1 eV) (10 eV) - karakt. veličina.

- ako su ove oscilacije spore (npr. ω_{ph}) svaki atom možemo gledati u adijabatskoj aprox.

$$\{u_j(t)\}$$

- ovisnost o t je spora pa svaki atom adijabatski prati promjenu polja
- dijagonalizira se hamiltonijan u svakom trenutku i nalazimo X_{j0}, ω_{j0} kao funkcije od u u svakom trenutku

\hat{d} postoje funkcija vremena:

$$\hat{d} = \hat{d}^{(0)} + \hat{d}^{(1)} + \dots \quad \hat{d}^{(1)} \sim \{u\}$$

kad su atomi u položaju ravnoteže (1) → linearni član s u (pomak)

$$p = [\hat{d}^{(0)} + \hat{d}^{(1)} \{u\}] E_0 e^{i\omega t} \quad u \sim e^{\pm i\omega_{ph} t}$$

$\{u\} \sim du \sim e^{\pm i\omega_{ph} t}$ (E ~ e^{i\omega t} uzmimo $\hat{d}^{(0)}$ ne ovisi o t)

↳ vremenska ovisnost polja pomaka

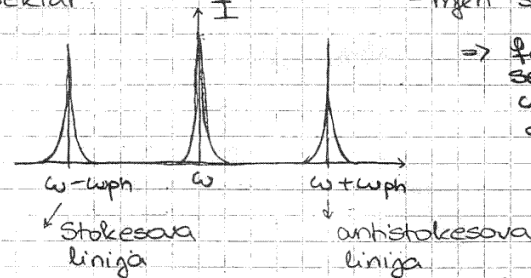
$$P = \hat{d}_0 E_0 e^{i\omega t} + (N e^{\pm i\omega_{ph} t}) e^{i\omega t}$$

dipol je iste frekv. kao i vanjsko polje
↳ pomaknuta frekvencija zračenja / apsorpcija

2. član: dobili smo i dipol koji oscilira s frekvencijom $\omega \pm \omega_{ph}$

⇒ naš kristal obasjan EH valom zrači frekvencije $\omega, \omega + \omega_{ph}, \omega - \omega_{ph}$.

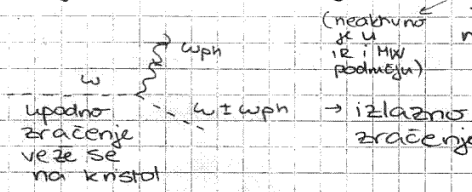
Spektar:



- mjen. se analizatorom

⇒ fononska frekvencija se superponirala na ω i mi tokom paketa detektiramo (u emitiranom zračenju moglo se opaziti fononske pomake)

Raman spektar homop. mol. → nema permanentnog dipolnog momenta; ubr. i rot. se ne vežu na em. zračenje (neelastično raspršenje sujetnosti → to je Raman efekt)



apsorpcija ~ broju fonona na određenj T (n_T)

$$I_{n_T} \propto n_T (\omega_{ph}) + 1 \quad (\text{spontana emisija})$$

↳ emisija je moguća i kod nema fonona zbog 0-tog gibanja

- samo fononi koji daju polje koji se može transformirati kao tenzor ulaze u Raman efekt (\hat{d} -tenzor → $\{u\}$ mora se transf. kao tenzor)

! Tvrđnja: ako kristal ima centar simetrije onda su njegovi fononi ili infracrveno ili Raman aktivni (NE OBAJE!!!)

Za kristale bez centra simetrije fononi mogu biti unutar obje aktivnosti (i IR i Raman)

Klasični opis:

Električno polje primjenjeno na molekulu inducira gibanje elektrona ⇒ nastaje el. dipol s frekvencijom vanjskog polja. Koeficijent proporcionalnosti D i E je χ = susceptibilnost. Ako je E || s osi molekule, χ ovisi o udaljenosti među jezgrama. Ako molekula vibrira, χ vibrira istom frekvencijom. Molekula je anizotropni sustav ⇒ D nije nužno paralelan s E. Opcenito vrijedi: $\vec{D} = (\chi_{||} E_{||} + \chi_{\perp} E_{\perp}) \cos \Omega t$ (vanjsko polje $E = E_0 \cos \Omega t$)

Projekcija na z os: $D_z = [x_L + (x_U - x_L) \cos^2 \psi] E \cos \Omega t$

↓
javlja se kut između
D i E

- ako molekula rotira: $\frac{\omega_R}{2\pi}$ i $\cos^2 \psi$ oscilira: (2)

$\cos^2 \psi = d \cos(\omega_R t - \beta)$ d, β - ovise o početnim uvjetima i orijentaciji angularnog momenta.

- član $\cos^2 \psi \rightarrow$ nova frekvencija $\frac{\Omega \pm 2\omega_R}{2\pi}$

zašto $2 \cdot \omega_R$: nakon $\frac{1}{2}$ rotacije molekula se vraća u isti položaj; obzrom na upodnu zraku \rightarrow opet se emitira svjetlost paralelno osi z $\frac{\Omega - 2\omega_R}{2\pi}$, Rayleigh $\frac{\Omega + 2\omega_R}{2\pi}$

Model atomske polarizabilnosti - odgovor izolatora ?

ϵ_{∞} uključuje u sebi doprinos polarizacije atoma \rightarrow ioni nose monopol, ali mogu nositi i dipol induciran vanjskim poljem.

Ako je frekvencija vanjskih oscilacija reda veličine frekvencije oscilacija elektrona u atomu, ϵ_{∞} više nije konstantan (oko 1 Ry) ($\omega \approx \omega_{el}$ približavamo se području rezonancije; $\omega_U, \omega_R \ll \omega$ ioni me. mogu više sljedeći gibanje, prespiti su)

razmatramo izolator (pp. elektroni vezani za čvrsta, nema slobodnih elektrona) \rightarrow uključujemo polje duž osi x:

$$E^*(t) = E_x (e^{i\omega t} + e^{-i\omega t}) \cdot e^{\gamma t}, \quad t < 0$$

(vrijedi dugovalna aprox. $k \rightarrow 0$)

E^* - Clausius-Mosottijevo polje (uvodimo ga kod su dimenzije dipola male u odnosu na λ).

vanjsko polje je malo \Rightarrow linearni odziv!
 karakteristična udaljenost za atomski dipol $\sim 1 \text{ \AA}$, a frekvencije u su reda atomskih prijelaza (zato nema E ovisnosti, tj. $k=0$ jer su $N \gg 1$) (1)

Pretpostavimo: prostorne varijacije polja veće su od dimenzija atoma \Rightarrow aproksimacija homogenog polja! (2)

Atomi u izolatoru zadržavaju individualnost, elektroni ostaju uz njih. (3)

\Rightarrow Van der Waalsova slika: interakcija dipola s vanjskim poljem

$$V(x,t) = e x E_x^* (e^{i\omega t} + e^{-i\omega t}) e^{\gamma t} \quad t < 0 \Rightarrow \text{zgušenje}$$

$\gamma > 0$

\rightarrow to pridjeljujemo hamiltonijanu, promjena je uvedena adijabatski γ je pr. volji mali ($\gamma \rightarrow 0$)

Rješavamo jednačinu: $m\ddot{x} + m\gamma\dot{x} + m\omega_0^2 x = -eE^*$

Efekt u atomu: [VZRS - vremenski zavisani račun smetnje]

$$\Psi(\vec{r}, t) = \psi_0 e^{-i\omega_0 t} + \sum_j c_j(t) \psi_j e^{-i\omega_j t} \equiv \Psi_t$$

\rightarrow vremenski promjenjiva smetnja pobuduje ostala stacionarna stanja

ω_0 - frekvencija osnovnog stanja
 ω_j - viša stacionarna stanja (frekvencija pobudenog stanja)

ψ_0, ψ_j : vlastita stanja atoma

- (1) dio bez vanjskog polja (nesmetano)
- (2) dio inducirani vanjskim poljem: prijelaz (dipolni) na viša stanja i njihovo miješanje

Perturbaciona teorija 1. reda (vremenski zavisani račun smetnje)

$$c_j(t) = \frac{1}{i\hbar} \int_{-\infty}^t eE^* x_{j0} (e^{i\omega t} + e^{-i\omega t}) e^{\gamma t} e^{-i\omega_j t} dt$$

$$x_{j0} = \langle \psi_j | x | \psi_0 \rangle \quad \omega_{j0} = \omega_j - \omega_0 \rightarrow \text{moguće rezonancije}$$

matrični element za dipolne prijelaze između osnovnog i pobudenih stanja

Izborna pravila: prijelazi Γ samo između stanja koja se razlikuju za $\ell=1$.

VZRS: (1. red.) $c_j(t) = \frac{1}{i\hbar} \int_{-\infty}^t \langle j | V(\vec{r}, t) | 0 \rangle e^{i\omega_j t} e^{-i\omega_0 t} dt$

- izračunajmo integral:

$$c_j(t) = \frac{eE^* x_{j0}}{\hbar} \left[\frac{e^{i(\omega_j + \omega - \gamma)t}}{\omega_j + \omega - \gamma} + \frac{e^{i(\omega_j - \omega - \gamma)t}}{\omega_j - \omega - \gamma} \right]$$

Tražimo srednji dipolni moment:

$$\langle ex \rangle = \langle \Psi_t | ex | \Psi_t \rangle$$

raspisujemo Ψ_t (od prije) i lineariziramo po vanjskom polju

- uz pretpostavku da nema permanentnog dipolnog momenta (u osnovnom stanju tj. stanje ψ_0 nema dip. momenta) tj.

Zadržavamo samo lin. članove u c_j

x je $c_j \sim E^*$ (pa $c_j^2 \sim E^{*2} \ll c_j$)

$$\langle \psi_0 | ex | \psi_0 \rangle = 0$$

$\langle \psi_0 | ex | \psi_j \rangle \sim$ vanjskom polju, lin. član

$$\langle \psi_0 | ex | \psi_0 \rangle = 0$$

$\langle \psi_j | ex | \psi_j \rangle \sim (\text{vanjsko polje})^2 \Rightarrow$ odbacimo

$$\langle ex \rangle \approx e \sum_j c_j^* e^{i\omega_j t} x_{j0} e^{-i\omega t} + e \sum_j c_j e^{i\omega_j t} x_{j0} c_j e^{-i\omega t}$$

$$= -e^2 E^* \sum_j \frac{|x_{j0}|^2}{\hbar} \left[\frac{e^{-i\omega t}}{\omega_{j0} + \omega + i\gamma} + \frac{e^{i\omega t}}{\omega_{j0} - \omega + i\gamma} \right] e^{i\omega t}$$

$$= -e^2 E^* \sum_j \frac{|x_{j0}|^2}{\hbar} \left[\frac{e^{i\omega t}}{\omega_{j0} + \omega + i\gamma} + \frac{e^{-i\omega t}}{\omega_{j0} - \omega + i\gamma} \right] e^{i\omega t}$$

- dipolni moment titra frekvenacijom upodnog zračenja (tj. titra emitirano zračenje)

↳ Ovo je dipolni moment induciran po atomu/jed. ćeliji.

Linearizacija nas je odvela i na linearnost odgovora
 ⇒ na pobudu $\sim e^{i\omega t}$ javlja se odgovor s istim ponašanjem $\sim e^{i\omega t}$, ali s kašnjenjem u fazi (odzivom) (tj. gušenjem) ⇒ kompleksni nazivnik!

rezultat: Polarizabilnost

$$\epsilon(\omega) = \frac{e^2}{m} \sum_j \frac{f_j}{\omega_{j0}^2 - \omega^2 + i\gamma\omega} \quad f_j = \frac{2m}{\hbar} |x_{j0}|^2 \omega_{j0}$$

↳ "osilatorna jakost"

- tu smo formalno uveli masu
 To se prije shvaćalo kao gomila oscilatora od kojih svaki ima frekvenciju ω_{j0} i težinu $f_j \rightarrow$ THOMAS-KUHN-REICHE-ov zakon: $\sum_j f_j = 1$ (uvodeno zbog sličnosti s oscilatorima) izgleda kao da je polje palo na oscilator koji ima statističku težinu f_j .

$$p_x \dot{x} - \dot{x} p_x = -i\hbar \left[\frac{\partial}{\partial x} x - x \frac{\partial}{\partial x} \right] \psi = -i\hbar \left[1 - x \frac{\partial}{\partial x} - \frac{\partial}{\partial x} x \right]$$

$$= \frac{\hbar}{i} \left(\langle 0 | 1 | 0 \rangle - \sum_j |j\rangle \langle j| \right)$$

$$\Rightarrow \sum_j (p_{0j} x_{j0} - x_{0j} p_{j0}) = \frac{\hbar}{i} \quad \omega_{j0} = \omega_j - \omega_0$$

stavimo: $p_{0j} = i \omega_{j0} x_{j0} \cdot m$ i ubacimo gore

$$\Rightarrow \pm 2im \sum_j \omega_{j0} |x_{j0}|^2 = \frac{\hbar}{i} \Rightarrow \sum_j \omega_{j0} |x_{j0}|^2 = \frac{\hbar}{2m}$$

$$\Rightarrow \sum_j \omega_{j0} |x_{j0}|^2 = \frac{\hbar}{2m} \Rightarrow \sum_j f_j = 1$$

iza pravila sume skriva se $E_k(\text{elektroni}) = \frac{p^2}{2m}$ (bez obzira na potencijal $\sim \nabla^2$)

Tražimo dielektričnu konstantu:

-recept: $\epsilon(\omega) = 1 + 4\pi N \epsilon(\omega)$ samosuglasnost
više nije trivijalna

Rezonancija ima koliko i $\omega_{j0} \rightarrow$ tu dielektrična konstanta poprima komplikiraniji oblik.

Postoje područja $\epsilon = 0, \epsilon = \infty$, javlja se totalna refleksija:
 $\text{Re}(\epsilon) < 0, \text{Im}(\epsilon) = 0$.

ω_{j0} leže u UV području (ne više u IR)

Granica $\omega \gg \omega_{j0}$ (visokih frekvencija) \Rightarrow to vrijedi kod f_j postone jako mali (tj. kod je $\omega > \omega_{j0}$ za koji je f_j značajan)

$$\epsilon(\omega) = \frac{e^2}{m} \sum_j \frac{f_j}{\omega_{j0}^2 - \omega^2 + i\gamma\omega} \approx -\frac{e^2}{m} \frac{1}{\omega^2}$$

$$\epsilon(\omega) = \frac{e^2}{m} \left(-\frac{1}{\omega^2} \right), \quad \omega \gg \omega_0$$

Za dovoljno velik $|\omega|, 4\pi N \epsilon \ll 1$

$$\epsilon(\omega) = 1 + 4\pi N \epsilon = 1 - \frac{4\pi e^2 N}{m \omega^2} = 1 - \frac{\omega_p^2}{\omega^2}$$

$$\omega_p^2 = \frac{4\pi e^2 N}{m}$$

↳ "slobodna" masa elektrona \Rightarrow elektron "ne zna" da je vezan za jezgru

⇒ FREKVENCIJA ELEKTRONSKE PLAZME

$$\epsilon(\omega) = 1 - \frac{\omega_p^2}{\omega^2} \quad \omega \gg \omega_0$$

! Za visoke frekvencije sustav se ponaša kao da elektroni nisu vezani \Rightarrow Na vrlo visokim frekvencijama ne može se razlikovati izolator od vodiča!!!

NAPOMENA: $\epsilon \sim \langle x^2 \rangle \rightarrow$ korelaciona funkcija dipol-dipol

$$\langle 0 | e x(t) e x(0) | 0 \rangle \text{ vodi na isti izraz kao i } \langle ex \rangle$$

fluktacije (u odsustvu polja)

ϵ - prikazuje disipaciju \rightarrow dakle gornja jednačina za ϵ je FLUKTUACIONO-DISIPACIJSKI TEOREM.

Izvod izraza za polarizaciju atoma:

Vanjsko polje: dugovalno: $E = E_x^* (e^{i\omega t} + e^{-i\omega t}) e^{\gamma t}$
 $E \geq 0, \gamma > 0$ (gušenje)

Želimo izračunati srednji dipolni moment, pa iz njega očitati polarizabilnost:

$$\langle p \rangle = e \cdot x = d \cdot E^*$$

Valna funkcija poslije smetnje:

$$\psi(t) = \psi_0 e^{-i\omega_0 t} + \sum_j C_j(t) e^{-i\omega_j t} \psi_j$$

1. red računa smetnje:

$$C_j(t) = -\frac{1}{i\hbar} \int_{-\infty}^t dt e^{i\omega_j t} x_{0j} e E^* (e^{i\omega t} + e^{-i\omega t}) e^{\gamma t}$$

$$= -\frac{e E^* x_{j0}}{\hbar} \left[\frac{e^{i(\omega_{j0} + \omega - i\gamma)t}}{\omega_{j0} + \omega - i\gamma} + \frac{e^{i(\omega_{j0} - \omega - i\gamma)t}}{\omega_{j0} - \omega - i\gamma} \right]$$

Srednji dipolni moment (lineariziran po E^*)

$$\langle e x \rangle = \langle \psi(t) | e x | \psi(t) \rangle$$

$$\langle e x \rangle = -\frac{e E^*}{\hbar} \sum_j x_{j0} \left[\frac{e^{-i(\omega_{j0} + \omega - i\gamma)t}}{\omega_{j0} + \omega + i\gamma} \cdot e \cdot x_{j0} e^{i\omega_{j0} t} \right.$$

$$+ \frac{e^{i(\omega_{j0} - \omega + i\gamma)t}}{\omega_{j0} - \omega + i\gamma} \cdot e \cdot x_{j0} e^{i\omega_{j0} t} + \frac{e^{i(\omega_{j0} + \omega - i\gamma)t}}{\omega_{j0} + \omega - i\gamma} \cdot e \cdot x_{j0} e^{-i\omega_{j0} t}$$

$$\left. + \frac{e^{i(\omega_{j0} - \omega - i\gamma)t}}{\omega_{j0} - \omega - i\gamma} \cdot e \cdot x_{j0} e^{-i\omega_{j0} t} \right] =$$

$$= -\frac{e^2 E^*}{\hbar} \sum_j |x_{j0}|^2 \left[\frac{1}{\omega_{j0} + \omega + i\gamma} + \frac{1}{\omega_{j0} - \omega - i\gamma} \right] (e^{i\omega t} + e^{-i\omega t}) e^{\gamma t}$$

$$= \frac{2\omega_{j0}}{\omega_{j0}^2 - \omega^2 + i\gamma\omega - \gamma^2} \ll \omega^2, \omega_{j0}^2$$

$$\approx 2\gamma$$

$$\langle p \rangle = -\frac{2e^2}{\hbar} \sum_j |x_{j0}|^2 \frac{\omega_{j0}}{\omega_{j0}^2 - \omega^2 + i\gamma\omega} \cdot E_x^* (e^{i\omega t} + e^{-i\omega t}) e^{\gamma t}$$

$$d(\omega)$$

$$d(\omega) = \epsilon_0 T R = \frac{e^2}{m} \sum_j \frac{f_j}{\omega_{j0}^2 - \omega^2 + i\gamma\omega}, \quad f_j = \frac{2m}{\hbar} |x_{j0}|^2 \omega_{j0}$$

POLARIZABILNOST ATOMA

oscilatorna jakost!